

(19) 日本国特許庁(JP)

(12) 公開特許公報(A)

(11) 特許出願公開番号

特開2008-260773

(P2008-260773A)

(43) 公開日 平成20年10月30日(2008.10.30)

(51) Int.Cl.	F I	テーマコード (参考)
A 6 1 K 38/00 (2006.01)	A 6 1 K 37/02 Z N A	4 C 0 8 4
A 6 1 P 35/00 (2006.01)	A 6 1 P 35/00	4 H 0 4 5
A 6 1 P 43/00 (2006.01)	A 6 1 P 43/00 1 O 5	
C O 7 K 14/705 (2006.01)	C O 7 K 14/705	

審査請求 有 請求項の数 5 O L (全 58 頁)

(21) 出願番号	特願2008-123043 (P2008-123043)	(71) 出願人	000000033
(22) 出願日	平成20年5月9日 (2008.5.9)		旭化成株式会社
(62) 分割の表示	特願平10-549046の分割		大阪府大阪市北区堂島浜 1 丁目 2 番 6 号
原出願日	平成10年5月13日 (1998.5.13)	(74) 代理人	110000109
(31) 優先権主張番号	特願平9-124064		特許業務法人特許事務所サイクス
(32) 優先日	平成9年5月14日 (1997.5.14)	(72) 発明者	坂野 誠治
(33) 優先権主張国	日本国 (JP)		東京都千代田区有楽町一丁目 1 番 2 号 旭化成株式会社内
		F ターム (参考)	4C084 AA02 BA02 BA08 BA22 CA26 DA27 NA14 ZB262 4H045 AA10 BA10 CA40 DA50 EA24 FA74

(54) 【発明の名称】 新規な分化抑制剤

(57) 【要約】

【課題】 新規なノッチリガンド分子の遺伝子配列、アミノ酸配列を明らかにし、この新規ノッチリガンド分子を提供し、この分子を用いた新しい治療方法を提供すること。

【解決手段】 配列表の配列番号 3 に記載のアミノ酸配列を含有するポリペプチドを含有する、血液未分化細胞のための分化抑制剤。

【選択図】 なし

【特許請求の範囲】**【請求項 1】**

配列表の配列番号 3 に記載のアミノ酸配列を含有するポリペプチドを含有する、血液未分化細胞のための分化抑制剤。

【請求項 2】

血液未分化細胞が造血幹細胞又は血液前駆細胞である、請求項 1 に記載の分化抑制剤。

【請求項 3】

配列表の配列番号 3 に記載のアミノ酸配列を含有するポリペプチドを含有する、血管細胞の増殖抑制剤。

【請求項 4】

血管細胞が血管内皮細胞である、請求項 3 に記載の増殖抑制剤。

【請求項 5】

血管内皮細胞が、ヒト大動脈血管内皮細胞またはヒト肺動脈血管内皮細胞である、請求項 4 に記載の増殖抑制剤。

【発明の詳細な説明】**【技術分野】****【0001】**

本発明は、新規生理活性物質に関するものである。

【背景技術】**【0002】**

ヒトの血液、リンパ液中には多種類の細胞があり、それぞれが重要な役割を担っている。例えば、赤血球は体内での酸素運搬を、血小板は止血作用を、白血球やリンパ球は感染を防御している。これらの多様な細胞は骨髄中の造血幹細胞に由来する。造血幹細胞は体内の種々のサイトカインや環境要因によって刺激されて、各種血液細胞、破骨細胞、肥満細胞などに分化することが近年明らかにされてきた。このサイトカインとして、赤血球への分化についてはエリスロポエチン（EPO）が、白血球への分化については顆粒球コロニー刺激因子（G-CSF）が、血小板産生細胞である巨核球への分化については血小板増殖因子（mpl リガンド）が発見されて、前者 2 つは現在すでに臨床応用がなされている。

【0003】

血液未分化細胞に関して、特定の血液系列に分化することが運命づけられた血液前駆細胞とすべての系列への分化能と自己複製能を有する造血幹細胞に概念的に分類されている。血液前駆細胞に関してコロニーアッセイによって同定が可能であるが、造血幹細胞の同定方法は確立されていない。これらの細胞に関して、ステムセルファクター（SCF）やインターロイキン 3（IL-3）、顆粒球単球コロニー刺激因子（GM-CSF）、インターロイキン 6（IL-6）、インターロイキン 1（IL-1）、顆粒球コロニー刺激因子（G-CSF）、オンコスタチン M などが細胞の分化増殖を促すことが報告されている。

【0004】

骨髄移植療法に代替される造血幹細胞移植療法や遺伝子治療への応用のため、造血幹細胞を体外で増幅することが検討されている。しかし、この細胞を上記のようなサイトカインを用いて体外で増殖培養させると、造血幹細胞が本来有している多分化能および自己複製能が徐々に失われ、5 週間培養後には特定の系列にのみ分化する血液前駆細胞へと変化し、造血幹細胞の特徴の一つである多分化能が失われることが報告されている（Wagner et al., Blood 86, 512-523, 1995）。

【0005】

血液前駆細胞の増殖には単独のサイトカインのみでは効果が十分でなく、複数のサイトカインの共同作用（シナジー）が重要であることが明らかになっている。このことから造血幹細胞の特徴を維持したまま増殖させるためには、血液未分化細胞を増殖、分化させるサイトカインと共に分化を抑制するサイトカインが必要であると考えられている。しかし

10

20

30

40

50

、一般に細胞の増殖や分化を促進するサイトカインが多数見いだされているのに対して、細胞の分化を抑制するサイトカインは少数しか見いだされていない。例えば、白血病細胞阻害因子 (L I F) はマウス胚幹細胞を分化させずに増殖させる作用が報告されているが、造血幹細胞や血液前駆細胞に対し、そのような作用は有していない。また、腫瘍細胞増殖因子 (T G F -) は多様な細胞に対して増殖抑制の作用をするが、造血幹細胞や血液前駆細胞に対する作用は一定の見解が得られていない。

【 0 0 0 6 】

血液細胞のみならず、未分化細胞、特に幹細胞に関しては組織再生に強く関与すると考えられている。これらの組織再生、並びに各組織の未分化細胞を増幅させることは成書 (吉里勝利著 再生 - 甦るしくみ、1996、羊土社) を参考にすることからその幅広い用途を知ることができる。

10

【 0 0 0 7 】

ノッチ (N o t c h) はショウジョウバエで発見された神経細胞の分化制御に関わるリセプター型膜蛋白質であり、ノッチのホモログは線虫 (L i n - 1 2)、アフリカツメガエル (X o t c h)、マウス (M o t c h)、ヒト (T A N - 1) などの無脊椎動物、脊椎動物の分類を越えた広い動物種から見いだされている。一方、ショウジョウバエノッチのリガンドとしてショウジョウバエデルタ (D e l t a) およびショウジョウバエセレイト (S e r r a t e) の2つが見いだされており、リセプターのノッチと同様に広い動物種からノッチリガンドホモログが見いだされている (A r t a v a n i s - T s a k o n a s e t a l . , S c i e n c e 2 6 8 , 2 2 5 - 2 3 2 , 1 9 9 5)。

20

【 0 0 0 8 】

特にヒトに関して、ヒトノッチホモログである T A N - 1 は、幅広く体中の組織に発現されており (E l l i s e n e t a l . , C e l l 6 6 , 6 4 9 - 6 6 1 , 1 9 9 1)、また T A N - 1 以外に3つのノッチ類縁分子が存在することが報告されている (A r t a v a n i s - T s a k o n a s e t a l . , S c i e n c e 2 6 8 , 2 2 5 - 2 3 2 , 1 9 9 5)。血液細胞においては、P C R (P o l y m e r a s e C h a i n R e a c t i o n) 法にて C D 3 4 陽性細胞に T A N - 1 の発現が認められている (M i l n e r e t a l . , B l o o d 8 3 , 2 0 5 7 - 2 0 6 2 , 1 9 9 4)。しかしながらヒトに関して、ノッチのリガンドと考えられるヒトデルタ、ヒトセレイトの遺伝子及びアミノ酸の配列は1997年4月時点では学術論文として報告されていない。

30

【 0 0 0 9 】

ショウジョウバエノッチについて、そのリガンドとの結合性が詳細に調べられ、ノッチの細胞外部分に36ある E p i d e r m a l G r o w t h F a c t o r (E G F) 様繰り返しアミノ酸配列のうち11番目と12番目の繰り返し配列を結合領域として、リガンドと C a ⁺⁺ を介して結合し得ることが示された (文献の F e h o n e t a l . , C e l l 6 1 , 5 2 3 - 5 3 4 , 1 9 9 0 および R e b a y e t a l . , C e l l 6 7 , 6 8 7 - 6 9 9 , 1 9 9 1 および国際公開番号 W O 9 2 / 1 9 7 3 4)。他種のノッチホモログについても E G F 繰り返し配列は保存されており、リガンドとの結合に関して同様の機構が類推されている。リガンドにおいてもアミノ酸末端の近くに D S L (D e l t a - S e r r a t e - L a g - 2) と呼ばれるアミノ酸配列とリセプターと同様に E G F 様繰り返し配列が保存されている (A r t a v a n i s - T s a k o n a s e t a l . , S c i e n c e 2 6 8 , 2 2 5 - 2 3 2 , 1 9 9 5)。

40

【 0 0 1 0 】

一方、E G F 様配列はトロンボモジュリン (J a c k m a n e t a l . , P r o c . N a t l . A c a d . S c i . U S A 8 3 , 8 8 3 4 - 8 8 3 8 , 1 9 8 6) や低密度リポ蛋白質 (L D L) リセプター (R u s s e l l e t a l . , C e l l 3 7 , 5 7 7 - 5 8 5 , 1 9 8 4) および血液凝固因子 (F u r i e e t a l . , C e l l 5 3 , 5 0 5 - 5 1 8 , 1 9 8 8) で見いだされ、細胞外での凝集や接着に重要な役割を果たすと考えられている。

50

【 0 0 1 1 】

近年クローニングされたショウジョウバエデルタの脊椎動物のホモログはニワトリ（C - デルタ - 1）とアフリカツメガエル（X - デルタ - 1）が見いだされており、X - デルタ - 1は原始ニューロンの発生にXotchを介して作用することが報告されている（Henrique et al., Nature 375, 787 - 790, 1995およびChitnis et al., Nature 375, 761 - 766, 1995）。一方、ショウジョウバエセレイトの脊椎動物のホモログは、ラットジャグド（Jagged）が見いだされている（Lindsell et al., Cell 80, 909 - 917, 1995）。この報告によれば、ラットジャグドのmRNAは胎仔ラットの脊髄に検出される。また、ラットノッチを強制的に過剰発現させた筋芽細胞株とラットジャグド発現細胞株の共培養により、この筋芽細胞株の分化が抑制されることが見いだされているが、ラットノッチを強制発現させていない筋芽細胞株に対してはラットジャグドが作用しないことが見いだされている。

10

【 0 0 1 2 】

本発明者はノッチおよびそのリガンドが神経芽細胞、筋芽細胞の分化制御のみならず、広く未分化な細胞、特に血液未分化細胞の分化制御を行なうとの仮説を立てた。しかしヒトへ臨床応用する際、既知のニワトリ型、アフリカツメガエル型などの異種の生物種のノッチリガンドでは種特異性、抗原性の問題がある。このため未だ報告のないヒト型のノッチリガンドを取得することは不可欠である。

20

【 0 0 1 3 】

そこで、本発明者はノッチリガンド分子に共通するDSLドメインとEGF様ドメインを有する分子で、ヒト型ノッチ（TAN - 1など）のリガンドであるヒトデルタホモログ（以下ヒトデルタ）及びヒトセレイトホモログ（以下ヒトセレイト）が存在すると考え、これらの発見は未分化細胞の分化制御に有効な医薬品の候補となると考え、それらの発見に努めた。

【 0 0 1 4 】

その結果、本発明者は以前の出願においてヒトノッチリガンド分子としてヒトデルタ - 1、ヒトセレイト - 1、ヒトセレイト - 2分子の3種の分子の遺伝子クローニングを行い、それらの分子が血液未分化細胞に作用することを見いだしている。（国際公開番号WO 97 / 19172分化抑制ポリペプチド及びWO 98 / 02458分化抑制剤を参照）

30

【 0 0 1 5 】

ヒトノッチリガンド分子に関して、最新の報告によるとヒトデルタ - 1に関しては国際公開番号WO 97 / 01571において不完全かつ全長ではないヒトデルタ - 1らしき分子の部分遺伝子並びに部分アミノ酸配列が示され、また、ヒトセレイト - 1（ヒトジャグド - 1）については国際公開番号WO 96 / 27610において全長遺伝子並びに全長アミノ酸配列が、またヒトセレイト - 2（ヒトジャグド - 2）に関しては同出願において全長ではない部分遺伝子並びに部分アミノ酸配列が示されているが、遺伝子配列において何らかの間違いがあるらしくフレームシフトをおこしてカルボキシ末端のアミノ酸配列が本発明者により国際公開番号WO 98 / 02458分化抑制剤に示されたものと全く異なっており、さらにアミノ末端に関しては遺伝子クローニングされておらず遺伝子配列並びにアミノ酸配列は不完全なものとなっている。また、遺伝子配列データベースGenbankリリース98（1996年12月）において配列を検索するとヒトセレイト - 1については4つのエントリーがあり、HSU61276、HSU73936、HSU77720及びHSU77914として登録されているが、他のヒトノッチリガンド分子に関しては該データベース上には認められなかった。

40

【 発明の開示 】

【 発明が解決しようとする課題 】

【 0 0 1 6 】

本発明の課題は、上記の3つの分子以外の新規なノッチリガンド分子の遺伝子配列、アミノ酸配列を明らかにし、この新規ノッチリガンド分子を提供し、この分子を用いた新し

50

い治療方法を提供することにある。

【課題を解決するための手段】

【0017】

本発明者はさらに新しいヒトノッチリガンドの探索のため、上記のヒトデルタ - 1 遺伝子を用いたクロスハイブリダイゼーション法にておこなった。

【0018】

ヒトデルタ - 1 遺伝子の取得は、参考例 1 および 2、並びに国際公開番号 W O 9 7 / 1 9 1 7 2 に従ってを行うことができる。また、ヒトデルタ - 1 の全アミノ酸配列をコードする c D N A、すなわち配列表の配列番号 8 の 1 7 9 番から 2 3 4 7 番の配列を有する D N A を含むベクター p U C D L - 1 F を大腸菌 J M 1 0 9 に遺伝子導入した形質転換細胞は、E . c o l i : J M 1 0 9 - p U C D L - 1 F として日本国茨城県つくば市東 1 丁目 1 番 3 号に所在の通商産業省工業技術院生命工学工業技術研究所に寄託されている。寄託日は平成 8 年 1 0 月 2 8 日であり、寄託番号は F E R M B P - 5 7 2 8 。

10

【0019】

このヒトデルタ - 1 遺伝子の色々な長さ部分遺伝子調製し、これらをプローブとして用い、多くの c D N A ライブラリーを色々なハイブリダイゼーション条件でスクリーニングを行い、クロスハイブリダイゼーションにて新たなノッチリガンド様分子を発見すべく進めた。

【0020】

そして、鋭意研究の結果、ヒト胎児肺 c D N A ライブラリーよりノッチリガンド分子に共通する D S L ドメインを有している新規分子、新規ヒトデルタ - 2 のアミノ酸配列をコードする c D N A の単離に成功し、この c D N A を用いて各種形態を有する蛋白質の発現系を作製した。また、これらの蛋白質の精製法を確立し、精製を行い単離した。

20

新規ヒトデルタ - 2 のアミノ酸配列は、配列表の配列番号 1 から 3 に示し、それらをコードする D N A 配列を配列表の配列番号 4 に示した。

【0021】

このようにして作製された蛋白質の生理作用を神経未分化細胞、前脂肪細胞、肝細胞、筋芽細胞、皮膚未分化細胞、血液未分化細胞、免疫未分化細胞など、多数の細胞を用いて探索した。その結果、この新規ヒトデルタ - 2 は血液未分化細胞に対して分化制御作用を有し、かつ未分化な状態に維持する生理作用を有することを見いだした。また、さらに血管内皮細胞に対し、増殖抑制作用を有することを見出した。

30

さらにマウスに対する毒性試験では明らかな毒性は観察されず有効な医薬品となる効果を示し、本発明が完成した。したがって本発明分子を含む薬剤、本発明分子を含む培地、本発明分子が固定化された器材は、血液未分化細胞などの未分化細胞を未分化な状態で保つことができる全く新しい医薬品、医療品である。また該ヒトデルタ - 2 を免疫原として抗体を作製し、精製法を確立し、本発明が完成した。

【0022】

すなわち、本発明は少なくとも配列表の配列番号 1 に記載のアミノ酸配列を含有するポリペプチド、少なくとも配列表の配列番号 2 に記載のアミノ酸配列を含有するポリペプチド、少なくとも配列表の配列番号 3 に記載のアミノ酸配列を含有するポリペプチドから構成され、未分化細胞の分化抑制作用を有する該ポリペプチド、未分化細胞が脳神経、筋肉系未分化細胞以外の未分化細胞である未分化細胞の分化抑制作用を有する該ポリペプチド、未分化細胞が血液未分化細胞である未分化細胞の分化抑制作用を有する該ポリペプチド、また、血管細胞に作用する該ポリペプチドに関する。また、これらポリペプチドを含有する医薬組成物、細胞の分化抑制作用を有する該医薬品組成物、細胞が血液未分化細胞である該医薬品組成物、血管細胞の調節作用を有する該医薬品組成物に関し、さらに、これらポリペプチドを含有する細胞培養培地、またこの培地が血液未分化細胞用の細胞培養培地、これらポリペプチドが固定化された器材に関する。また、該培地もしくは該器材を用いた細胞の培養方法、細胞が血液未分化細胞である該培養方法に関する。

40

【0023】

50

さらに、少なくとも配列表の配列番号 1 に記載のアミノ酸配列をコードする DNA、少なくとも配列表の配列番号 2 に記載のアミノ酸配列をコードする該 DNA、少なくとも配列表の配列番号 3 に記載のアミノ酸配列をコードする該 DNA、配列表の配列番号 4 に記載の遺伝子配列の 355 番から 927 番の遺伝子配列を有する該 DNA、配列表の配列番号 4 に記載の遺伝子配列の 355 番から 1854 番の遺伝子配列を有する該 DNA、配列表の配列番号 4 に記載の遺伝子配列の 355 番から 2331 番の遺伝子配列を有する該 DNA に関し、これらの DNA 群の中から選ばれる DNA と、宿主細胞中で発現可能なベクター DNA と連結してなる組み換え DNA 体、これら組み換え DNA 体により形質転換された細胞、該細胞と共にヒト由来細胞を培養する培養方法、また、該形質転換された細胞を培養し培養物中より生産された化合物を採取することを特徴とする該ポリペプチドの製造方法、また、配列表の配列番号 3 のアミノ酸配列を有するポリペプチドを特異的に認識する抗体に関する。

10

【発明の効果】

【0024】

本発明の新規ヒトデルタ - 2 分子は血液未分化細胞をはじめとする未分化細胞の増殖、分化抑制にとって有効な化学品となり、医薬品、医療品として使用が可能である。

【発明を実施するための最良の形態】

【0025】

以下、本発明を詳細に説明する。

遺伝子操作に必要な cDNA の作製、ノーザンブロットによる発現の検討、ハイブリダイゼーションによるスクリーニング、組換え DNA の作製、DNA の塩基配列の決定、cDNA ライブラリーの作製等の一連の分子生物学的な実験は通常の実験書に記載の方法によって行うことができる。前記の通常の実験書としては、たとえば、Maniatisらの編集した *Molecular Cloning, A laboratory manual*, 1989, Eds., Sambrook, J., Fritsch, E. F., and Maniatis, T., Cold Spring Harbor Laboratory Press を挙げることができる。

20

【0026】

本発明のポリペプチドは少なくとも配列表の配列番号 1 から 3 のアミノ酸配列からなるポリペプチドを有するが、自然界で生じることが知られている生物種内変異、アレル変異等の突然変異及び人為的に作製可能な点変異による変異によって生じる改変体も、それらが配列表の配列番号 1 から 3 のポリペプチドの性質を失わない限り本発明の新規化合物に含まれる。そのアミノ酸の改変、置換に関しては例えば Bennettらの出願（国際出願番号 WO96/2645）などに詳しく記載されており、これらを参考にして作製することができる。

30

【0027】

また、配列表の配列番号 1 から 3 のアミノ酸配列からなるポリペプチドをコードする DNA 配列については配列表の配列番号 4 にアミノ酸配列とともに示した。この遺伝子配列に関し、アミノ酸レベルの変異がなくとも、自然界から分離した、染色体 DNA、または cDNA において、遺伝コードの縮重により、その DNA がコードするアミノ酸配列を変化させることなく DNA の塩基配列が変異した例はしばしば認められる。さらに、これらの配列は人為的にも改変が可能である。また、5'非翻訳領域及び 3'非翻訳領域はポリペプチドのアミノ酸配列の規定には関与しないので、それらの領域の DNA 配列は変異しやすい。このような遺伝コードの縮重によって得られる塩基配列も本発明の DNA に含まれる。

40

【0028】

本発明で記載する未分化細胞とは、特定の刺激によって増殖可能な細胞であり、かつ特定の刺激によって特定の機能を有する細胞に分化可能な細胞と規定され、これらの中には皮膚組織系の未分化細胞、脳神経系の未分化細胞、筋肉系の未分化細胞、血液系の未分化細胞などが含まれ、各々幹細胞といわれる自己複製能力を有しかつその系統の細胞を生み

50

出す能力を有する細胞を含む。また、分化抑制作用とは、これらの未分化細胞が自律的もしくは他律的に分化する現象を抑制する作用であり、具体的には未分化な状態を維持する作用である。また、脳神経系未分化細胞とは、特定の刺激に伴い、特定の機能を有する脳、神経の細胞にのみ分化する能力を有する細胞と規定できる。また、筋肉系未分化細胞とは特定の刺激に伴い、特定の機能を有する筋肉細胞にのみ分化する能力を有する細胞と規定される。また、本発明で記載する血液未分化細胞とは、血液コロニーアッセイで同定が可能な特定の血液系列に分化することが運命づけられた血液前駆細胞および全ての系列への分化能と自己複製能を有する造血幹細胞を含む細胞群と規定される。また、本発明において血管細胞とは血管内皮細胞を主構成細胞とする血管を構成する細胞の総称である。

【 0 0 2 9 】

配列表において、配列表の配列番号 1 のアミノ酸配列は本発明の新規ヒトデルタ - 2 のシグナルペプチドを除いた活性中心の配列、すなわちアミノ末端から D S L ドメインまでのアミノ酸配列であり、配列番号 3 に示した本発明の新規ヒトデルタ - 2 の成熟型全長アミノ酸配列のアミノ酸番号 1 番から 1 9 1 番に相当している。

配列番号 2 のアミノ酸配列は、本発明の新規ヒトデルタ - 2 のシグナルペプチドを除いた細胞外ドメインの配列であり、配列番号 3 に示した本発明の新規ヒトデルタ - 2 成熟型全長アミノ酸配列のアミノ酸番号 1 番から 5 0 0 番に相当している。

【 0 0 3 0 】

配列番号 3 のアミノ酸配列は、本発明の新規ヒトデルタ - 2 の成熟型全長アミノ酸配列である。

配列番号 4 の配列は本発明の新規ヒトデルタ - 2 の c D N A 配列およびそのコード領域に対応する全アミノ酸配列である。

配列番号 5 は本発明で使用した F L A G ペプチドをコードする D N A 配列及び F L A G ペプチドアミノ酸配列である。

配列番号 6 及び 7 は参考例 1 で使用したプライマーの D N A 配列である。

【 0 0 3 1 】

配列番号 8 は本発明で使用したヒトデルタ - 1 の全アミノ酸配列及びそれをコードする c D N A 配列である。

配列番号 9、10、12 及び 13 は実施例 1 で使用したプライマーの D N A 配列である。

配列番号 11 は実施例 1 で使用したプローブの D N A 配列である。

配列番号 14 は実施例 1 及び 2 で使用したプローブの D N A 配列である。

配列番号 15 及至 24 は実施例 3 で使用したプライマーの D N A 配列である。

なお、配列表に記載されたアミノ酸配列の左端及び右端はそれぞれアミノ基末端（以下 N 末）及びカルボキシル基末端（以下 C 末）であり、また塩基配列の左端及び右端はそれぞれ 5' 末端及び 3' 末端である。

【 0 0 3 2 】

未知のヒトノッチリガンドの遺伝子をクローニングするために次の方法が考え得る。ヒトノッチリガンドは生物の進化の過程で、ある程度アミノ酸配列、遺伝子配列が保存されていることから、別のノッチリガンド分子の遺伝子をプローブに用いてクローニングすることは原理的に可能である。しかしながら、このようなクロスハイブリダイゼーション法においては、どの部分をプローブとして用いるのが適当であるか、ハイブリダイゼーションの条件はどのようにするかなど多くの検討点があり、決して容易ではない。また、クロスハイブリダイゼーション法は多くの類似の遺伝子を同時にクローニングしてしまうため遺伝子配列解析に時間がかかるため、クローニングした遺伝子が目的の分子であるかどうか同定することは極めて困難であった。

【 0 0 3 3 】

本発明者はヒトデルタ - 1 遺伝子から 10 種類以上の遺伝子断片を作製し、これらをプローブとして 10 種類以上の異なる臓器由来の c D N A ライブラリーのスクリーニングを数多くのハイブリダイゼーション条件、洗浄条件にて行ない、新しいデルタ様分子の発見

10

20

30

40

50

に努めた。

【0034】

このブランクハイブリダイゼーションにおいてプローブをアイソトープ標識、及び各種非アイソトープ標識し、ライブラリーをスクリーニングすることによってクローンを得ることができる。アイソトープの標識法としては例えば [^{32}P] - ATP と T4 ポリヌクレオチドキナーゼを用いて末端をラベルする方法や、他のニックトランスレーション法またはプライマー伸長法などによる標識法が利用できる。

【0035】

その結果、本発明者は実施例1において、配列表の配列番号8に示したヒトデルタ-1の全長遺伝子の部分遺伝子、すなわち配列表の配列番号11に示した遺伝子配列を有するプローブを用いてヒト胎児肺 cDNA ライブラリーをスクリーニングを行い、1次スクリーニングではおよそ120個のポジティブブランクを分離し、2次スクリーニングにおいて、およそ80個のポジティブブランクをクローン化し、これらのクローンの遺伝子配列の決定をおこなった。これらをクローニングした遺伝子の大半はプローブに用いたヒトデルタ-1遺伝子であったが、この中の5つのクローンがヒトデルタ-1に類似した本発明の新規ヒトデルタ-2遺伝子であることが判明し、目的の新規ノッチリガンド分子を見いだすことに成功した。

【0036】

しかしながら上記の5つのクローン中にはシグナルシーケンス並びにアミノ末端の配列が含まれていなかったために、さらに全長遺伝子入手するために配列表の配列番号14に示した遺伝子配列を有する新しいプローブを作製し、さらに該ヒト胎児肺 cDNA ライブラリーを再度スクリーニングして全長遺伝子のクローニングに成功した。

この配列をデータベース (Genbank リリース 98、1996年12月) で比較したところ、これらは新規な配列であった。

【0037】

cDNA を組み込むプラスミドとしては、実施例1に記載した pBluescript KS 以外にも、例えば大腸菌由来の pBR322、pUC18、pUC19、pUC118、pUC119 (いずれも日本国酒造社製) などが挙げられるが、その他のものであっても宿主内で複製増殖できるものであればいずれも用いることができる。また cDNA を組み込むファージベクターとしては、例えば gt10、gt11 などが挙げられるが、その他のものであっても宿主内で増殖できるものであれば用いることができる。このようにして、得られたプラスミドは適当な宿主、例えばエシェリヒア (Escherichia) 属菌、バチルス (Bacillus) 属菌などにカルシウムクロライド法等を用いて導入する。上記エシェリヒア属菌の例としては、エシェリヒア コリ K12 HB101、MC1061、LE392、JM109 などが挙げられる。上記バチルス属菌の例としてはバチルス、サチリス MI114 等が挙げられる。また、ファージベクターは、例えば増殖させた大腸菌にインビトロパッケージング法 (Enquist and Sternberg, Meth. Enzymol., 68, 281-, 1979) を用いて導入することができる。

【0038】

該アミノ酸配列を Kyte-Doolittle の方法 (J. Mol. Biol. 157: 105, 1982) に従って、アミノ酸配列から疎水性部分、親水性部分を解析した。その結果、本発明の新規ヒトデルタ-2は細胞膜通過部分を1つ有する細胞膜蛋白質として、細胞上に発現されることが明らかとなった。

【0039】

新規ヒトデルタ-2のアミノ酸配列の解析によれば、新規ヒトデルタ-2の前駆体のアミノ酸配列は配列表の配列番号4のアミノ酸配列に示す685アミノ酸残基からなり、シグナルペプチド領域は同配列表のアミノ酸配列の-26番のメチオニンから-1番のグリシンにあたる26アミノ酸残基、細胞外領域は同配列表の1番のセリンから500番のセリンにあたる500アミノ酸残基、細胞膜通過領域は同配列表のアミノ酸配列の501番

10

20

30

40

50

のフェニルアラニンから526番のバリンにあたる26アミノ酸残基、細胞内領域は同配列表の527番のアルギニンから659番のバリンにあたる133アミノ酸残基が該当することが推定された。ただし、これらの各部分は、あくまでもアミノ酸配列から予測されたドメイン構成であり、実際に細胞上および溶液中での存在形態は、上記の構成と若干異なることも十分考えられ、上記に一応規定された各ドメインの構成アミノ酸が、5から10アミノ酸配列前後することとも考えられる。

【0040】

少なくとも、実施例5に記載したようにCOS-7細胞で発現させ、生産、精製した該ヒトデルタ-2ポリペプチドのN末端アミノ酸配列は配列表の配列番号2の1番目のセリンから始まるアミノ酸配列を有している。同様に他の動物細胞で発現させた場合でも同一のN末端を有することが期待される。

10

【0041】

本発明分子新規ヒトデルタ-2の1997年4月時点までに報告のあるノッチリガンド分子との全長アミノ酸配列の比較では、ヒト由来の分子としてヒトデルタ-1(配列表の配列番号8のアミノ酸配列)とは48.5%、ヒトセレイト-1(Genbank HSU61276及びHSU73939)とは40.3%、ヒトセレイト-2(本発明者ら出願番号平8-18622分化抑制剤)とは42.7%であり、他の脊椎動物のデルタに関してはマウスデルタ-1(D111, Genbank MMDELTA1)とは48.7%、カエルデルタ-1(Genbank XELXDEL)とは47.0%、カエルデルタ-2(Genbank XLU70843)とは49.7%、ニワトリデルタ-1(Genbank GGU26590)とは47.9%であった。

20

【0042】

これらの結果から、本発明の新規ヒトデルタ-2はヒトのみならず、他種の生物ホモログですら全く報告のない新規な分子であることが明らかであり、これらの物質とは異なる新規なアミノ酸配列を有する新規な物質であり、本発明の発明者により初めて明らかにされた物質である。また、上記のデータベース上の全ての生物種の検索においても新規ヒトデルタ-2と同一配列を有するポリペプチドは見いだされなかった。

【0043】

ノッチのリガンドホモログは進化論的に保存された共通の構造配列を有している。すなわちDSL配列と繰り返して存在するEGF様配列である。新規ヒトデルタ-2とヒトデルタ-1との比較により、新規ヒトデルタ-2のアミノ酸配列からこれら保存された構造配列を推定した。

30

すなわち、DSL配列は配列表の配列番号4のアミノ酸配列の149番のシステインから191番のシステインにあたる43アミノ酸残基に相当した。EGF様配列は8回繰り返して存在し、配列表の配列番号4のアミノ酸配列のうち、第1EGF様配列は196番システインから224番システインまで、第2EGF様配列は227番システインから255番システインまで、第3EGF様配列は262番システインから295番システインまで、第4EGF様配列は302番システインから333番システインまで、第5EGF様配列は340番システインから373番システインまで、第6EGF様配列は380番システインから411番システインまで、第7EGF様配列は418番システインから449番システインまで、第8EGF様配列は458番システインから491番システインに該当した。

40

【0044】

新規ヒトデルタ-2のアミノ酸配列から予想されることとして、糖鎖が付加される部分はN-アセチル-D-グルコサミンがN-グリコシド結合可能な部分として、配列表の配列番号4のアミノ酸配列の82番、157番、179番、367番の4カ所のアスパラギン残基が挙げられる。また、N-アセチル-D-ガラクトサミンのO-グリコシド結合を推定する部分として、セリンまたはスレオニン残基が頻出する部分が考えられる。これらの糖鎖が付加されたタンパクの方がポリペプチドそのものよりも一般に生体内での分解に対して安定であり、また強い生理活性を有していると考えられる。したがって、配列表の

50

配列番号 1、2 または 3 の配列を含有するポリペプチドのアミノ酸配列の中に N - アセチル - D - グルコサミンが N - グルコシドや N - アセチル - D - ガラクトサミンなどの糖鎖が N - グリコシドあるいは O - グルコシド結合してなるポリペプチドも本発明に含まれる。実施例 5 に示したように本発明のヒトデルタ - 2 は C O S - 7 細胞に遺伝子導入して発現させると、糖鎖の付加により異なる分子量を有する蛋白質として、少なくとも 2 種類以上の形態をとって発現される。

【 0 0 4 5 】

ショウジョウバエノッチおよびそのリガンドの結合に関する研究により、ショウジョウバエノッチのリガンドがノッチに結合するために必要なアミノ酸領域は、シグナルペプチドが切断された成熟体蛋白質の N 末から D S L 配列までであることが明らかにされている (国際公開番号 W O 9 2 / 1 9 7 3 4) 。また、同様に線虫を用いた F i t z g e r a l d と G r e e n w a l d (D e v e l o p m e n t , 1 2 1 , 4 2 7 5 - 4 2 8 2 , 1 9 9 5) の研究からノッチリガンド様分子 A P X - 1 はノッチ様リセプターの活性化にとって全長のアミノ末端から D S L ドメインまで十分であることが明らかにされている。

【 0 0 4 6 】

これらのことから、ヒトノッチリガンド分子のリガンド作用発現に必要な領域は少なくとも D S L ドメイン、すなわち配列表の配列番号 1 のアミノ酸配列の 1 4 9 番のシステインから 1 9 1 番のシステインを含む領域であり、また、少なくともヒトデルタ - 1 のリガンド作用の発現に必要な領域は配列表の配列番号 1 に示した新規アミノ酸配列であり、更に少なくともヒトセレイト - 1 のリガンド作用の発現に必要な領域は配列表の配列番号 2 に示した新規アミノ酸配列であることがわかる。

【 0 0 4 7 】

また、実施例 2 に示したように、配列表の配列番号 4 の遺伝子配列の一部もしくは全部をコードする D N A を用いれば、新規ヒトデルタ - 2 の m R N A の検出が可能である。たとえば、これらの遺伝子の発現を調べる方法として、配列表の配列番号 4 の一部の遺伝子配列を有する 1 2 m e r から 1 6 m e r 以上、さらに望ましくは 2 0 m e r 以上の相補し得る核酸、つまりアンチセンス D N A 、 R N A 、及びそれらがメチル化、メチルフォスフェート化、脱アミノ化、またはチオフォスフェート化された誘導体を用い、ハイブリダイゼーション、P C R 等の手法によって行うことが出来る。同様な方法でマウス等の他の生物の本遺伝子のホモログの検出や遺伝子クローニングができる。さらに、ヒトを含めたゲノム上の遺伝子のクローニングも同様に可能である。従って、そのようにしてクローニングされたこれら遺伝子を用いれば、ヒトデルタ - 2 の更に詳細な機能も明らかにすることが出来る。例えば、近年の遺伝子操作技術を用いれば、トランスジェニックマウス、ジータゲッティングマウス、また、本遺伝子と関連する遺伝子を共に不活化したダブルノックアウトなどのあらゆる方法を用いることが出来る。また、本遺伝子のゲノム上の異常があれば、遺伝子診断、遺伝子治療への応用も可能である。

【 0 0 4 8 】

尚、本発明の新規ヒトデルタ - 2 の全アミノ酸配列をコードする c D N A を含むベクター p B S D L - 2 を大腸菌 J M 1 0 9 に遺伝子導入した形質転換細胞は、E . c o l i : J M 1 0 9 - p B S D L - 2 として日本国茨城県つくば市東 1 丁目 1 番 3 号に所在の通商産業省工業技術院生命工学工業技術研究所に寄託されている。寄託日は平成 9 年 5 月 9 日であり、寄託番号は F E R M B P - 5 9 4 1 。

【 0 0 4 9 】

新規ヒトデルタ - 2 ポリペプチドを生産する方法は実施例 3 に示したように、発現ベクター p c D N A 3 を用いて行うことができる。さらに、上記の方法にて分離した新規ヒトデルタ - 2 のアミノ酸配列をコードする c D N A を用いた色々な形態を有した新規ヒトデルタ - 2 ポリペプチドの生産、精製には多数の方法が成書によって知られている (K r i e g l e r , G e n e T r a n s f e r a n d E x p r e s s i o n - A L a b o r a t o r y M a n u a l S t o c k t o n P r e s s , 1 9 9 0 , および横田ら、バイオマニュアルシリーズ 4 , 遺伝子導入と発現・解析法 , 羊土社 , 1 9 9 4) 。すなわち

、分離した該ヒトデルタ - 2 のアミノ酸配列をコードする c D N A を適当な発現ベクターにつなぎ、動物細胞、昆虫細胞などの真核細胞、バクテリアなどの原核細胞を宿主として生産させることができる。

【 0 0 5 0 】

本発明の新規ヒトデルタ - 2 を発現させる際に、本発明のポリペプチドをコードする D N A はその 5 ' 末端に翻訳開始コドンを含み、また、3 ' 末端には翻訳終止コドンを含んでもよい。これらの翻訳開始コドンや翻訳終止コドンは適当な合成 D N A アダプターを用いて付加することもできる。更に該 D N A を発現させるには上流にプロモーターを接続する。ベクターとしては上記の大腸菌由来プラスミド、枯草菌由来プラスミド、酵母由来プラスミド、あるいは ファージなどのバクテリオファージおよびレトロウイルス、ワクシニアウイルスなどの動物ウイルスなどが挙げられる。

10

【 0 0 5 1 】

本発明に用いられるプロモーターとしては、遺伝子発現に用いる宿主に対応して適切なプロモーターであればいかなるものでもよい。

形質転換する際の宿主がエシェリヒア属菌である場合は t a c プロモーター、t r p プロモーター、l a c プロモーターなどが好ましく、宿主がバチルス属菌である場合には S P O 1 プロモーター、S P O 2 プロモーターなどが好ましく、宿主が酵母である場合には P G K プロモーター、G A P プロモーター、A D H プロモーターなどが好ましい。

宿主が動物細胞である場合には、S V 4 0 由来のプロモーター、レトロウイルスのプロモーター、メタルチオネインプロモーター、ヒートショックプロモーターなどが利用できる。

20

本発明のポリペプチドを発現させる時、配列表の配列番号 1、2 もしくは 3 のアミノ酸配列をコードする D N A のみでもかまわないが、産生されたポリペプチドの検出を容易にするための既知抗原エピトープをコードする c D N A を付加したり、多量体構造を形成させるためにイムノグロブリン F c をコードする c D N A を付加することで、特別の機能を付加した蛋白質を生産させることもできる。

【 0 0 5 2 】

新規ヒトデルタ - 2 に関して本発明者は実施例 3 に示したごとく、細胞外タンパク質を発現する発現ベクターとして、1) 配列表の配列番号 2 に記載のアミノ酸配列の 1 番から 5 0 0 番のアミノ酸をコードする D N A、2) 配列表の配列番号 2 に記載のアミノ酸配列の 1 番から 5 0 0 番のアミノ酸の C 末側に 8 アミノ酸、すなわち Asp Tyr Lys Asp Asp Asp Lys のアミノ酸配列 (以下 F L A G 配列、配列表の配列番号 5 にこれをコードする D N A 配列の 1 例を示す) を持つペプチドを付加したキメラタンパク質をコードする D N A、および 3) 配列表の配列番号 2 に記載のアミノ酸配列の 1 番から 5 0 0 番のアミノ酸の C 末側にヒト I g G 1 のヒンジ部分以下の F c 配列を付加し、ヒンジ部分のジスルフィド結合により 2 量体構造を有するキメラタンパク質をコードする D N A、を各々発現ベクター p c D N A 3 (米国 I N V I T R O G E N 社) に各々別々につなぎ、新規ヒトデルタ - 2 の細胞外部分発現ベクターを作製した。

30

【 0 0 5 3 】

また、新規ヒトデルタ - 2 の全長タンパク質を発現する発現ベクターとして、4) 配列表の配列番号 3 の 1 番から 6 5 9 番のアミノ酸をコードする D N A、および 5) 配列表の配列番号 3 の 1 番から 6 5 9 番のアミノ酸の C 末端側に F L A G 配列を持つペプチドを付加したキメラタンパク質をコードする D N A を発現ベクター p c D N A 3 に各々別々につなぎ、新規ヒトデルタ - 2 の全長発現ベクターを作製した。

40

このようにして構築された該ヒトデルタ - 2 をコードする D N A を含有する発現プラスミドを用いて、形質転換体を製造した。

宿主としては例えばエシェリヒア属菌、バチルス属菌、酵母、動物細胞などが挙げられる。動物細胞としては、例えばサル細胞である C O S - 7、V e r o、チャイニーズハムスター細胞 C H O、カイコ細胞 S F 9 などが挙げられる。

【 0 0 5 4 】

50

実施例 4 に示したごとく、上記の 1) ~ 5) の発現ベクターをそれぞれ別々に遺伝子導入し、ヒト新規ヒトデルタ - 2 を C O S - 7 細胞 (理化学研究所、細胞開発銀行から入手可能、R C B 0 5 3 9) で発現させ、これら発現プラスミドで形質転換された形質転換体が得られる。さらに、各形質転換体をそれぞれ公知の方法により、適当な培地中で適当な培養条件により培養することによって各種新規ヒトデルタ - 2 ポリペプチドを製造することができる。

実施例 5 に示したごとく、上記の様な培養物から新規ヒトデルタ - 2 ポリペプチドを分離精製することができる。また、一般的には下記の方法により行うことができる。

【 0 0 5 5 】

すなわち、培養菌体あるいは細胞から抽出するに際しては、培養後、公知の方法、たとえば遠心分離法などで菌体あるいは細胞を集め、これを適当な緩衝液に懸濁し、超音波、リゾチーム及び / または凍結融解などによって菌体あるいは細胞を破碎した後、遠心分離や濾過により粗抽出液を得る方法などを適宜用いることができる。緩衝液の中に尿素、塩酸グアニジンなどのタンパク変性剤や、トリトン X - 1 0 0 などの界面活性剤が含まれていてもよい。培養溶液中に分泌される場合には、培養液を公知の方法、たとえば遠心分離法などで菌体あるいは細胞と分離し、上清を集める。

【 0 0 5 6 】

このようにして得られた細胞抽出液あるいは細胞上清に含まれる新規ヒトデルタ - 2 は公知のタンパク質精製法を用いることで、精製できる。その精製の過程でタンパク質の存在を確認するために、上記に示した F L A G、ヒト I g G F c などの融合タンパクの場合には、それら既知抗原エピトープに対する抗体を用いたイムノアッセイで検出して精製を進めることができる。また、このような融合タンパク質として発現させない場合には、実施例 6 に記載した抗体を用いて検出することができる。

【 0 0 5 7 】

新規ヒトデルタ - 2 を特異的に認識する抗体は実施例 6 に示したように作製することができる。また成書 (*Antibodies a laboratory manual*, E . Harlow et al . , Cold Spring Harbor Laboratory) に示された各種の方法ならびに遺伝子クローニング法などにより分離されたイムノグロブリン遺伝子を用いて、細胞に発現させた遺伝子組換え体抗体によっても作製することができる。このように作製された抗体は新規ヒトデルタ - 2 の精製に利用できる。すなわち、実施例 6 に示したこれらの新規ヒトデルタ - 2 を特異的に認識する抗体を用いれば、本発明の新規ヒトデルタ - 2 の検出、測定が可能であり、細胞の分化異常に伴う疾患例えば悪性腫瘍など疾患の診断薬として使用でき得る。

【 0 0 5 8 】

精製方法としてより有効な方法としては抗体を用いたアフィニティークロマトグラフィーが挙げられる。この際に用いる抗体としては実施例 6 に記載した抗体を用いることができる。また、融合タンパクの場合には、実施例 5 に示したように、F L A G であれば F L A G に対する抗体、ヒト I g G F c であれば P r o t e i n G、P r o t e i n A を用いることができる。

【 0 0 5 9 】

このように精製された新規ヒトデルタ - 2 タンパクの生理機能を、各種細胞株、マウス、ラットなどの生物個体を用いた各種生理活性アッセイ法、分子生物学的手法に基づく細胞内シグナル伝達の各種アッセイ法、ノッチリセプターとの結合などの色々なアッセイ法にて知ることができる。

【 0 0 6 0 】

本発明者は新規ヒトデルタ - 2 の I g G 1 キメラ蛋白質を用いて、血液未分化細胞への作用を観察した。すなわち、実施例 7 に示したように C D 3 4 陽性細胞画分を濃縮した請帯血由来血液未分化細胞において、各種サイトカイン存在下でコロニー形成する血液未分化細胞に対してコロニー形成作用の抑制活性を有することを見いだした。

またさらに、実施例 8 に記載したように C D 3 4 陽性細胞画分を濃縮した臍帯血由来血

10

20

30

40

50

液未分化細胞を各種サイトカイン存在下の無血清培養条件でヒトデルタ - 2 存在下で 2 週間培養を行い、ヒト血液未分化細胞の中で最も未分化な造血幹細胞としてされている L T C - I C (L o n g - T e r m C u l t u r e - I n i t i a t i n g C e l l s) を計測した結果、その数を維持する活性が見出された。ついで、実施例 9 に示したようにヒトデルタ - 2 はヒト血液未分化細胞に結合することを見出した。

【 0 0 6 1 】

この結果から、新規ヒトデルタ - 2 は血液未分化細胞の分化を抑制し、それらの作用は血液幹細胞からコロニー形成細胞にわたって作用することが明らかである。これらの生理作用は血液未分化細胞の体外増殖に必要な作用であり、特に新規ヒトデルタ - 2 を含有する細胞培養培地で培養した細胞は抗癌剤投与後の骨髄抑制回復に有効であり、他の条件を整えることにより体外での造血幹細胞の増幅を可能とするであろう。さらに、医薬品として用いた場合には、抗癌剤などの副作用で見られる骨髄抑制作用を保護し、軽減する作用がある。

10

【 0 0 6 2 】

また、これらの実験において、この L T C - I C 維持活性、並びに血液細胞に対する結合は本発明者により先に同様な活性が示されたヒトデルタ - 1 (W O 9 7 / 1 9 1 7 2) よりも本発明の新規ヒトデルタ - 2 は血液細胞に対し強い活性を有していることが示された。

【 0 0 6 3 】

実施例 9 に示したように C D 3 4 陽性の血液未分化細胞にヒトデルタ - 2 の I g G 1 キメラ蛋白質は結合する。この結合することから本発明のポリペプチドは細胞の分離や検出に用いることができる。分離方法としては実施例 9 に記載したフローサイトメーターを用いた方法でもかまわないが、実施例 1 1 に記載した本発明のポリペプチドを固定化した器材を用いる方が簡便と考えられる。したがって、本発明のポリペプチドを用いた細胞の分離方法も本願に含まれ、さらに本発明のポリペプチドを固定化した器材を用いた細胞の分離方法、この分離方法に応用した細胞の分離装置も本願に含まれる。これら分離装置並びに分離方法に関しては、色々な成書に示されている抗体を用いた細胞分離方法の全てが利用できる。例えば、磁気ビーズと抗体を組み合わせたノルウェー国 D y n a l 社のダイナビーズが利用できる。

20

【 0 0 6 4 】

またさらに、実施例 1 2 に示したように本発明新規ヒトデルタ - 2 の I g G 1 キメラ蛋白質は血管内皮細胞の増殖に対して抑制的作用を有しており、血管新生作用を阻害する活性を有する。したがって、F o l k m a n と K l a g s b r u n (S c i e n c e 2 3 5 , 4 4 2 - 4 4 7 , 1 9 8 7) によって提唱された血管新生を抑制することで治療できるであろう疾患、病態に対する治療薬剤として使用できる。具体的な用途に関しては上記の参考文献に記されているが、例えば悪性腫瘍等の疾患を挙げることができる。

30

さらに、血液細胞、血管細胞以外の未分化細胞においても、細胞の分化を抑制する作用が主に期待でき、また組織再生を促す作用等が期待できる。

【 0 0 6 5 】

医薬品として用いるならば、本発明のポリペプチドを適当な安定化剤、例えばヒト血清アルブミンなどと共に凍結乾燥品を作製し、用時注射用蒸留水にて溶解もしくは懸濁して使用し得る形状が望ましい。例えば 0 . 1 から 1 0 0 0 μ g / m l の濃度に調製した注射剤、点滴剤として提供することができる。本発明者は実施例 1 3 に示したように本発明の化合物 1 m g / m l 、ヒト血清アルブミン 5 m g / m l となるようにバイアルに小分けし、長期にわたって該化合物の活性は保持された。さらに、細胞を体外にて培養、活性化させる場合には医薬品同様に、凍結乾燥品、もしくは溶液剤を作製して、培地に加える、もしくは培養に使用する容器に固定化することができる。また、本発明のポリペプチドの毒性については、マウスに対していずれのポリペプチドも 1 0 m g / K g を腹腔内投与したがマウスの死亡例は確認されなかった。

40

【 0 0 6 6 】

50

また、本発明のインビトロの生理活性は、あらゆる疾患モデルマウス、またはそれらに準ずる疾患に似た症状を呈するラット、サル等の動物をモデルとして投与を行い、その身体的、生理的な機能の回復、異常を調べることにより可能となる。例えば、造血細胞に関する異常であれば、5-FU系の抗癌剤を投与して、骨髓抑制モデルマウスを作製し、このマウスに本発明の化合物を投与した群としなかった群の骨髓細胞、末梢血細胞の数、生理的な機能を調べることで明らかになる。また更に、体外で造血幹細胞を含む造血未分化細胞の培養、増殖を調べる場合には、マウス骨髓細胞を培養器などを利用して、培養を行い、その際に本発明の化合物を加えた群と加えなかった群で培養後の細胞を致死量放射線照射マウスに細胞移植を行い、その結果の回復の度合いを、生存率、血球数の変動などを指標にすることで調べることが出来る。勿論、これらの結果が人にも外挿できるため、本化合物の薬効としての評価として有効なデータを得ることが出来る。

10

【0067】

本発明の化合物を医薬品として利用する場合、その適応として、細胞の分化異常に伴う疾患、例えば白血病、悪性腫瘍の治療があげられ、体外でヒト由来細胞を培養して、その本来の機能を保ったまま増殖させる、もしくは新たな機能を持たせる等を行う細胞治療、組織損傷後の再生時に投与することにより本来その組織が有していた機能を損なうことなく再生させる治療法などの応用が可能である。その際の投与量としてはその形態などにもよるが、具体的には $10\mu\text{g}/\text{Kg}$ から $10\text{mg}/\text{Kg}$ 程度投与すればよい。また、さらに強い生理活性を有する形態として、多量体を形成し得る形態で発現させることが望ましい。

20

【0068】

多量体構造を有する新規ヒトデルタ-2は、実施例3および4に記載したヒトIgGのFc部分とのキメラタンパク質として発現させて抗体のヒンジ部分によりジスルフィド結合をした多量体として発現させる方法、また、抗体認識部位をC末端もしくはN末端に発現するキメラタンパクとして発現させ、発現させた該ヒトデルタ-2の細胞外部分を含むポリペプチドをC末端もしくはN末端の抗体認識部位を特異的に認識する抗体と反応させることにより多量体を形成させる方法が挙げられる。さらに、別の方法として、抗体のヒンジ領域部分のみとの融合タンパクを発現させて、ジスルフィド結合にて2量体を形成させる方法、もしくはその他の新規ヒトデルタ-2の活性に何等影響を与えない方法でジスルフィド結合を生じさせる形のペプチドをC末端、N末端もしくはその他の部位に発現するように作成された融合タンパクから構成された2量体以上の高い比活性を有する多量体型新規ヒトデルタ-2を得ることもできる。また、さらに配列表の配列番号1、2及び3のアミノ酸配列を含むポリペプチドから選ばれる1つ以上のポリペプチドを遺伝子工学的に2つ以上直列にもしくは並列に並べ多量体構造を発現させる方法などもある。その他、現在知られている2量体以上の多量体構造を持たせるあらゆる方法が適応可能である。したがって、遺伝子工学的な技術により作製される2量体もしくはそれ以上の形態を有する形の配列表の配列番号1、2及び3に記載のアミノ酸配列を含むポリペプチドを含む化合物に関しても本発明に含まれる。

30

【0069】

また、その他の方法として、化学的な架橋剤を用いて多量体化する方法が挙げられる。例えば、リシン残基を架橋するジメチルスベロイミデート2塩酸塩など、システイン残基のチオール基で架橋するN-(マレイミドブチリルオキシ)スクシンイミドなど、アミノ基とアミノ基を架橋するグルタルアルデヒドなどが挙げられ、これらの架橋反応を利用して、2量体以上の多量体を形成させることができる。したがって、化学的な架橋剤により作製される2量体もしくはそれ以上の多量体の形態を有する形の配列表の配列番号1、2もしくは3に記載のアミノ酸配列を含むポリペプチドを含む化合物に関しても本発明に含まれる。

40

【0070】

体外において細胞を増殖、活性化し、体内に細胞を戻す医療方法への適応には、上記のような形態を有した新規ヒトデルタ-2を直接培地中に加えることも可能だが、固定化す

50

る事も同様に可能である。固定化の方法としてはこれらのポリペプチドのアミノ基、カルボキシル基を利用したり、適当なスペーサーを用いたり、上記の架橋剤を用いたりして、培養容器にポリペプチドを共有結合させることができる。実施例 11 に固定された器材の作製方法並びにその効果の一例を示した。したがって、固体表面に存在する形態を有す配列表の配列番号 1、2 もしくは 3 のアミノ酸配列を含有するポリペプチドに関しても本発明に含まれる。

【0071】

また、自然界に存在する新規ヒトデルタ - 2 は細胞膜蛋白質であることから、これらの分子を発現する細胞と血液未分化細胞を共培養することによっても、実施例 7、8、および 12 で行った分化抑制作用を発現させることができる。したがって、配列表の配列番号 1、2 もしくは 3 のアミノ酸配列をコードする DNA を用いて形質転換するした細胞と未分化細胞を共培養する方法についても本発明に含まれる。実施例 10 にその一例を示した。発現させる細胞は実施例で示したサル由来 COS - 7 細胞、マウス由来 Balb 3 T3 細胞でもかまわないが、ヒト由来の細胞が望ましく、また更に発現させる細胞は細胞株ではなくヒトの体内の血液細胞でも体細胞でもかまわない。したがって、遺伝子治療用のベクターに組み込んで体内で発現させることもできる。遺伝子治療用のベクターとしてはレトロウイルスベクター、アデノウイルスベクター、アデノ関連ウイルスベクターなどが挙げられる。

【0072】

また、本発明分子すなわち配列表の配列番号 1、2 もしくは 3 のアミノ酸配列を有するポリペプチドとこれらのリセプターとの結合を阻害することは細胞分化を促進する分子、化合物を見つけだす手段として利用できる。その方法としては、ラジオアイソトープなどを用いた結合実験、ノッチリセプターの下流分子である転写調節因子群を用いたルシフェラーゼアッセイ、X 線構造解析を行いコンピューター上でのシミュレーションなどあらゆる方法が応用できる。したがって、配列表の配列番号 1、2 もしくは 3 のポリペプチドを用いた薬剤スクリーニング方法に関しても本発明に含まれる。

【実施例】

【0073】

以下に発明を実施する形態について参考例、実施例を示すが、必ずしもこれらに限定されるものではない。

参考例 1 ヒトデルタ - 1 プライマーによる PCR 産物のクローニングおよび塩基配列の決定

C - デルタ - 1 および X - デルタ - 1 に保存されたアミノ酸配列に対応した混合プライマー、すなわちセンスプライマ - D L T S 1 (配列表の配列番号 6 に記載) 及びアンチセンスプライマ - D L T A 2 (配列表の配列番号 7 に記載) を用いた。

【0074】

合成オリゴヌクレオチドは固相法を原理とする全自動 DNA 合成機を使用して作成した。全自動 DNA 合成機としては米国アプライドバイオシステム社 391 PCR - MATE を使用した。ヌクレオチド、3' - ヌクレオチドを固定した担体、溶液、および試薬は同社の指示に従って使用した。所定のカップリング反応を終了し、トリクロロ酢酸で 5' 末端の保護基を除去したオリゴヌクレオチド担体を濃アンモニア中にて室温で 1 時間放置することにより担体からオリゴヌクレオチドを遊離させた。次に、核酸及びりん酸の保護基を遊離させるために、核酸を含む反応液を、封をしたバイアル内において濃アンモニア溶液中で 55℃ にて 14 時間以上放置した。担体及び保護基を遊離した各々のオリゴヌクレオチドの精製をアプライドバイオシステム社の OPC カートリッジを使用して行い、2% トリフルオロ酢酸で脱トリチル化した。精製後のプライマーは最終濃度が 100 pmol / μl となるように脱イオン水に溶解して PCR に使用した。

【0075】

これらプライマーを用いた PCR による増幅は以下のように行った。ヒト胎児脳由来 cDNA 混合溶液 (QUICK - Clone cDNA、米国 CLONTECH 社) 1 μl

を使用し、 $10 \times$ 緩衝液 (500 mM KCl 、 100 mM Tris-HCl ($\text{pH } 8.3$)、 15 mM MgCl_2 、 0.01% ゼラチン) $5 \mu\text{l}$ 、 dNTP Mixture (日本国酒造社製) $4 \mu\text{l}$ 、前述の脊椎動物デルタホモログに特異的なセンスプライマー DLTS1 ($100 \text{ pmol}/\mu\text{l}$) $5 \mu\text{l}$ およびアンチセンスプライマー DLTA2 ($100 \text{ pmol}/\mu\text{l}$) $5 \mu\text{l}$ 、及び Taq DNA ポリメラーゼ (AmpliTaq : 日本国酒造社製、 $5 \text{ U}/\mu\text{l}$) $0.2 \mu\text{l}$ を加え、最後に脱イオン水を加えて全量を $50 \mu\text{l}$ として、 95°C で 45 秒間、 42°C で 45 秒間、 72°C を 2 分間からなる行程を 1 サイクルとして、この行程を 5 サイクル行い、さらに 95°C で 45 秒間、 50°C で 45 秒間、 72°C を 2 分間からなる行程を 1 サイクルとして、この行程を 35 サイクル行い最後に 72°C にて 7 分間放置して PCR を行った。この PCR 産物の一部を 2% アガロースゲル電気泳動を行い、エチジウムブロマイド (日本国日本ジーン社製) にて染色後、紫外線下で観察し、約 400 bp の cDNA が増幅されていることを確認した。

【0076】

PCR 産物の全量を低融点アガロース (米国 GIBCO BRL 社製) にて作成した 2% アガロースゲルにて電気泳動し、エチジウムブロマイドにて染色後、紫外線照射下にてデルタプライマーによる PCR 産物の約 400 bp のバンドを切り出し、ゲルと同体積の蒸留水を加え、 65°C にて 10 分間加熱し、ゲルを完全に溶かしたのち、等量の TE 飽和フェノール (日本国日本ジーン社製) を加えて、 15000 rpm 5 分間遠心分離後上清を分離し、さらに同様な分離作業を TE 飽和フェノール: クロロフォルム ($1:1$) 溶液、さらにクロロフォルムにて行った。最終的に得られた溶液から DNA をエタノール沈澱して回収した。

【0077】

ベクターとして pCRII Vector (米国 Invitrogen 社製、以下 pCRII と示す) を用い、ベクターと先の DNA のモル比が $1:3$ となるように混ぜ合わせて、 T4 DNA リガーゼ (米国 Invitrogen 社製) にてベクターに DNA を組み込んだ。 DNA が組み込まれた pCRII を大腸菌 $\text{One Shot Competent Cells}$ (米国 Invitrogen 社) に遺伝子導入し、アンピシリン (米国 Sigma 社製) を $50 \mu\text{g}/\text{ml}$ 含む L-Broth (日本国酒造社製) 半固型培地のプレートに蒔き、 12 時間程度 37°C に放置し、現れてきたコロニーを無作為選択し、同濃度のアンピシリンを含む L-Broth 液体培地 2 ml に植え付け、 18 時間程度 37°C で振盪培養し、菌体を回収し、ウィザードミニプレップ (米国 Promega 社製) を用いて添付の説明書に従ってプラスミドを分離し、このプラスミドを制限酵素 EcoRI にて消化して、約 400 bp の DNA が切れ出されてくることで該 PCR 産物が組み込まれていることを確認し、確認されたクローンについて、組み込まれている DNA の塩基配列を米国アプライドバイオシステム社の蛍光 DNA シークエンサー (モデル 373 S) にて決定した。

【0078】

参考例 2 ヒトデルタ - 1 遺伝子の全長クローニングおよびその解析

ヒト胎盤由来の cDNA ライブラリー (gt-11 に cDNA が挿入されたもの、米国 CLONTECH 社製) からブランクハイブリダイゼーションにて全長 cDNA を持ったクローンの検索を 1×10^6 相当のブランクから行った。出現したブランクをナイロンフィルター (Hybond N+ : 米国 Amersham 社製) に転写し、転写したナイロンフィルターをアルカリ処理 (1.5 M NaCl 0.5 M NaOH を染み込ませたる紙上に 7 分間放置) し、次いで中和処理 (1.5 M NaCl 0.5 M Tris-HCl ($\text{pH } 7.2$)、 1 mM EDTA を染み込ませたる紙上に 3 分間放置) を 2 回行い、次に SSPE 溶液 (0.36 M NaCl 、 0.02 M リン酸ナトリウム ($\text{pH } 7.7$)、 2 mM EDTA) の 2 倍溶液中で 5 分間振とう後洗浄し、風乾した。その後、 0.4 M NaOH を染み込ませたる紙上に 20 分間放置し、 5 倍濃度の SSPE 溶液で 5 分間振とう後洗浄し、再度風乾した。このフィルターを用いて放射性同位元素 ^{32}P にて標識されたヒトデルタ - 1 プローブにてスクリーニングを行った。

【0079】

放射性同位元素³²Pにて標識された参考例1で作製されたDNAプローブは以下のように作成した。すなわち、遺伝子配列が決定されたヒトデルタ-1プライマーによる精製PCR産物(約400bp)が組み込まれたpCRIIより、EcoRIにてベクターより切り出し、低融点アガロースゲルからDNA断片を精製回収した。得られたDNA断片をDNAラベリングキット(Megaprime DNA labeling system: 米国Amersham社製)を用いて標識した。すなわち、DNA 25ngにプライマー液5μl及び脱イオン水を加えて全量を33μlとして沸騰水浴を5分間行い、その後、dNTPを含む反応緩衝液10μl、³²P-dCTP 5μl、及びT4 DNAポリヌクレオチドキナーゼ溶液2μlを加えて、37℃で10分間水浴し、更にその後、セ

10

【0080】

前述の方法にて作成したフィルターを、各々の成分の最終濃度が5倍濃度のSSPE溶液、5倍濃度のデンハルト液(日本国和光純薬社製)、0.5% SDS(ドデシル硫酸ナトリウム、日本国和光純薬社製)、及び10μg/mlの沸騰水浴により変性したサケ精子DNA(米国Sigma社製)であるプレハイブリダイゼーション液中に浸し、65℃にて2時間振とうした後、前述の方法で³²P標識されたプローブを含むプレハイブリダイゼーション液と同一組成のハイブリダイゼーション液に浸し、65℃にて16時間振盪し、ハイブリダイゼーションを行った。

20

【0081】

次に、フィルターを0.1% SDSを含むSSPE溶液に浸し、55℃にて振盪し2回洗浄後、さらに0.1% SDSを含む10倍希釈したSSPE溶液に浸し、55℃にて4回洗浄した。洗浄を終了したフィルターを増感スクリーンを使用して、オートラジオグラフィを行った。その結果、強く露光された部分のクローンを拾い、再度ブランクを蒔き直し前述の方法にてスクリーニングを行い、完全に単独のクローンを分離した。

【0082】

単離されたファージクローンは7クローンであった。成書の方法に従い、これらのすべてのクローンのファージを約1×10⁹ pfu調製し、ファージDNAをウィザードラムダブルップ(米国Promega社製)にて精製し、制限酵素EcoRIにて消化し、同様にEcoRIで消化したpBluescript KS(米国Stratagene社製)に組み込んだ。これらのクローンの両端のDNA配列をDNAシークエンサーにより解析したところ、D5、D6、D7の3クローンは共に配列表の配列番号7のDNA配列の1番から2244番の配列を含むクローンであり、D4のクローンは配列表の配列番号8のDNA配列の999番から2663番を含むクローンであった。D5とD4の2クローンはキロシークエンス用デリションキット(日本国宝酒造社製)を用いて添付の説明書に従ってデリションミュータントを作製し、該DNAシークエンサーを用いて5'方向、3'方向の両方向から、本発明の全長のcDNA塩基配列を決定した。

30

【0083】

さらに配列表の配列番号8のDNA配列の1214番にあるXhoIサイトを利用し、D4とD5を制限酵素XhoIによって消化して、配列表の配列番号8のDNA配列全長を含むプラスミドpBSDe1-1を作製した。

40

【0084】

実施例1 新規ヒトデルタ-2のcDNAクローニング

配列表の配列番号8のヒトデルタ-1遺伝子をプローブとして用いて新たなヒトデルタホモログの遺伝子クローニングを行った。

プローブとしては参考例2に得た配列表の配列番号8のヒトデルタ-1全長遺伝子pBSDe1-1、もしくは上記に記載した寄託してあるベクターpUCDL-1Fを鋳型として用いてPCR法にて作製した。プライマーは配列表の配列番号9のセンスプライマー

50

(配列表の配列番号 8 の 6 3 6 番から 6 5 5 番の DNA 配列にあたる) 及び配列表の配列番号 1 0 のアンチセンスプライマー (配列表の配列番号 8 の 1 3 3 2 番から 1 3 5 1 番の DNA 配列の相補鎖にあたる) を用いた。

【0085】

PCR による増幅の溶液組成はプライマーと鋳型以外は参考例 1 に記載した溶液組成で、条件は 95 で 45 秒間、55 で 45 秒間、72 を 2 分間からなる行程を 1 サイクルとして、この行程を 30 サイクル行い、最後に 72 にて 7 分間放置して PCR を行った。この PCR 産物の一部を 1 % アガロースゲル電気泳動を行い、エチジウムブロマイド (日本国日本ジーン社製) にて染色後、紫外線下で観察し、約 700 bp の cDNA が増幅されていることを確認した。

10

【0086】

この PCR 産物をアガロースゲルより切り出し、GeneClean II キット (米国 Bio 101 社製) にて添付の取扱説明書に従い DNA プローブを精製し、25 ng / μ l となるように蒸留水に希釈して、配列表の配列番号 11 に示した配列を有する DNA プローブを作製した。

【0087】

参考例 2 に記載した方法に従って、上記プロブを用いて、gt 10 にて作製されたヒト胎児肺由来 cDNA ライブラリー (米国 Clontech 社製) をスクリーニングした。ただし、ハイブリダイゼーション条件としては 55 で 16 時間行い、さらに洗浄条件は 0.1 % SDS を含む SSC 溶液に浸し、室温で振盪し 6 回洗浄後、さらに 0.1 % SDS を含む 3 倍希釈した SSC 溶液に浸し、55 にて 1 回洗浄した。

20

【0088】

上記の条件でおよそ 120 万個のプラークを 1 次スクリーニングとして行った結果、約 120 個のプラークがポジティブと判断され、これらを同様な方法で 2 次スクリーニングを行って各ファージを分離した。

【0089】

分離したファージ DNA を参考例 2 に記載した方法で精製し、同様に制限酵素 EcoRI にて消化し、p Bluescript KS につなぎ、参考例 1 に示したのと同様 DNA シークエンサーにて DNA 遺伝子配列を解析した。

【0090】

30

約半数以上のクローンは配列表の配列番号 8 の遺伝子配列を有するヒトデルタ - 1 であったが、この中にヒトデルタ - 1 には似ているが異なる遺伝子配列を有し、なおかつコンピュータソフトウェア Genetyx CD Ver 3.6 (ソフトウェア開発株式会社製) にて Genbank リリース 98 上には存在しない新規な配列を含むクローンが 5 つ見いだされた。これらのクローンの DNA 配列を、キロシークエンス用デリションキット (日本国宝酒造社製) を用いて添付の説明書に従ってデリションミュータントを作製するとともに、プライマーウオーキング法と組み合わせて、該 DNA シークエンサーを用いて 5' 方向、3' 方向の両方向から、本発明の全長の cDNA 塩基配列を決定した。

【0091】

40

その結果、クローン 4A は配列表の配列番号 4 の DNA 配列の 526 番から 3339 番までの遺伝子配列をコードし (ただし同配列の 1296 番から 1515 番までの配列を欠失していた)、クローン 22 は配列表の配列番号 4 の DNA 配列の 1029 番から 3213 番までに遺伝子配列をコードし、クローン 65 は配列表の配列番号 4 の DNA 配列の 754 番から 3228 番までに遺伝子配列をコードし、クローン 90 は配列表の配列番号 4 の DNA 配列の 552 番から 2618 番までに遺伝子配列をコードし、クローン 105 は配列表の配列番号 4 の DNA 配列の 669 番から 3339 番までに遺伝子配列をコード (ただしこのクローン 105 には他のクローンでは見られない不明配列の挿入が何カ所も見られるためスプライス前の未成熟な mRNA に由来すると考えられる) していた。また、クローン 65 に関しては配列表の配列番号 4 の DNA 配列の 2294 番のシトシンがチミンに置換していた。そのため、同配列表のアミノ酸配列の 647 番のセリンがスレオニン

50

に置換している。

【0092】

しかしながら、これらのクローンにはいずれも全長のアミノ酸配列をコードしている遺伝子配列を含んでいないことが判明したため、さらに新しいプローブを作製して再度スクリーニングを行った。

新しいプローブは上記で分離したクローン4Aを鋳型として用いてPCR法にて作製した。プライマーは配列表の配列番号12のセンスプライマー（配列表の配列番号4の526番から545番のDNA配列にあたる）及び配列表の配列番号13のアンチセンスプライマー（配列表の配列番号4の918番から937番のDNA配列の相補鎖にあたる）を用い、初めのプローブ同様作製した。このプローブのDNA配列を配列表の配列番号14に示す。

10

【0093】

このプローブを用いて1回目同様同一のcDNAライブラリーのスクリーニングを行った。ただし、ハイブリダイゼーション条件としては65℃で16時間行い、さらに洗浄条件は0.1%SDSを含むSSC溶液に浸し、室温で振盪し6回洗浄後、さらに0.1%SDSを含む10倍希釈したSSC溶液に浸し、65℃にて2回洗浄した。

このスクリーニングにより同様に新たなクローンを同定し、同様に遺伝子配列を決定したところ、配列表の配列番号4に示すDNA配列と同一の配列を有するクローンPと配列表の配列番号4に示すDNA配列の263番から2768番の配列を有するクローンRAを同定された。この2つのクローンが全長の新規ヒトデルタ-2のタンパク質をコードしているクローンとして分離できた。尚、pBluescript KSのEcoRIサイトにライゲーションされているクローンPを含むベクターをpBSDL-2と命名する。

20

【0094】

実施例2 新規ヒトデルタ-2の発現臓器

新規ヒトデルタ-2のmRNAの発現を調べるため、あらかじめmRNAが転写されているフィルターである、Human Multiple Tissue Northern Blot、Human Multiple Tissue Northern Blot I、Human Multiple Tissue Northern Blot II、Human Fetal Multiple Tissue Northern Blot I、（すべて米国Clontech社）を用い、実施例1に記載の配列表の配列番号14の配列を有するDNAをプローブとして前掲のDNAラベリングキット（MegaPrime DNA labeling system：米国Amersham社製）にて前述の方法で32P標識し、上記のフィルターの添付の取扱説明書にしたがってハイブリダイゼーションを行い発現を調べた。結果を第1図に示す。

30

【0095】

その結果、発現されているmRNAの長さは約3.8kbと5kbの2種類であった。発現部位としてヒト成人組織のうち特に強い発現を認めたのは、心臓であった。また、胎盤、卵巣、小腸、甲状腺、脊髄に比較的強い発現が認められ、骨格筋、肺、肝臓、脾臓、胸腺、前立腺、リンパ節、気管、副腎、骨髄では明かな発現を認めた。一方、極めて弱くしか発現が認められなかったのは胃、脾臓、結腸であり、さらに全く発現が認められなかったのは、脳、腎臓、精巣、末梢血リンパ球であった。ヒト胎児組織においては胎児肺に極めて発現が高く、胎児腎臓に強い発現が認められ、胎児肝臓、胎児脳には若干弱いながら発現が認められた。

40

【0096】

これらの結果から本発明の新規ヒトデルタ-2は成人では心臓に関連する機能を有すると考えられた。またさらに、胎児期の肺に強い発現が認められたことから、血管細胞の対しての作用も有すると想像された。

【0097】

実施例3 新規ヒトデルタ-2発現ベクターの作製

実施例1の新規ヒトデルタ-2の全長をコードするベクターpBSDL-2を用いて、

50

次の1)から5)に挙げる新規ヒトデルタ-2蛋白質の発現ベクターを作製した。制限酵素サイトの付加、短い遺伝子配列の挿入は全て米国Stratagene社製ExSite PCR-Based Site-Directed Mutagenesis Kitを用い、添付の取扱い説明書に従って行った。

【0098】

1) 分泌型新規ヒトデルタ-2蛋白質(HD2EX)発現ベクター

配列表の配列番号2のアミノ酸配列の1番から500番のポリペプチドをコードするcDNAを、サイトメガロウイルスのプロモーターとネオマイシン耐性遺伝子を含む発現ベクターpcDNA3につなぎ、発現ベクターを作製した。

【0099】

新規ヒトデルタ-2の発現ベクターを作製するにあたって、遺伝子産物のより安定的に発現させるために、開始コドン(配列表の配列番号4のDNA配列の277番)の5'方向に約20bp上流の部分にEcoRIサイトを付加した。すなわち、上記のMutagenesis Kitを用い、配列表の配列番号4に記載のDNA配列、新規ヒトデルタ-2の全長のcDNAを含むプラスミドpBSDL-2をテンプレートとし、配列表の配列番号15及び配列番号16の遺伝子配列を有するオリゴヌクレオチドをプライマーとして、5'方向に約20bp上流の部分にEcoRIサイトを付加したDNAを作成した。以下このプラスミドをpBSEco-DL-2と示す。

【0100】

次に、このpBSEco-DL-2をテンプレートとして、細胞外部分のカルボキシル末端部分、すなわち配列表の配列番号2のアミノ酸配列の500番目のセリン残基までをコードするDNA配列に続き、終止コドン、更に制限酵素NotIサイトを付加するため、同様にMutagenesis Kitを用い、配列表の配列番号17及び配列番号18の遺伝子配列を有するオリゴヌクレオチドをプライマーとして、終止コドン、さらにNotIサイトの付加を行った。次に、このベクターをEcoRIおよびNotIにて消化し、切り出されてくる約1600bpの遺伝子断片を同様な制限酵素処理したpcDNA3につないで発現ベクターを構築した。このベクターをpHD2EXと命名した。

【0101】

2) 分泌型新規ヒトデルタ-2のFLAGキメラ蛋白質(HD2EXFLAG)発現ベクター

配列表の配列番号2のアミノ酸配列の1番から500番のポリペプチドのC末端にFLAG配列をコードするcDNAを付加したキメラ蛋白質をコードするcDNAを、発現ベクターpcDNA3につなぎ、発現ベクターを作製した。

pBSEco-DL-2をテンプレートとして用い、細胞外部分のカルボキシル末端部分、すなわち配列表の配列番号2の500番目のセリン残基までをコードするDNA配列に続き、FLAG配列を付加し、ついで終止コドン、更に制限酵素NotIサイトを付加するため同様にMutagenesis Kitを用い、配列表の配列番号19及び配列番号18の遺伝子配列を有するオリゴヌクレオチドをプライマーとして、C末端にFLAG配列をコードする遺伝子並びに終止コドン、さらにNotIサイトの付加を行った。次に、このベクターをEcoRIおよびNotIにて消化し、切り出されてくる約1600bpの遺伝子断片を同様な制限酵素処理したpcDNA3につないで発現ベクターを構築した。このベクターをpHD2EXFLAGと命名した。

【0102】

3) 分泌型新規ヒトデルタ-2のIGGF1キメラ蛋白質(HD2EXIG)発現ベクター

配列表の配列番号2に記載のアミノ酸配列を有するポリペプチドのC末にヒトIGGF1のヒンジ部分以下のFc部分のアミノ酸配列を付加したポリペプチドをコードする遺伝子配列をpcDNA3につなぎ、発現ベクターを作製した。

イムノグロブリンFcタンパクとの融合タンパクの作製はZettlmeisslらの方法(Zettlmeissl et al., DNA cell Biol., 9, 347

10

20

30

40

50

- 354, 1990) にしたがって、イントロンを含むゲノムDNAを用いた遺伝子を利用し、その遺伝子をPCR法を用いて作製した。

【0103】

すなわち、ヒトゲノムDNAをテンプレートとして使用して、ヒトIGG1Fc部分をコードするゲノム遺伝子配列を制限酵素BamHIサイトのついた配列表の配列番号23の配列を有するオリゴヌクレオチド、制限酵素XbaIサイトのついた配列表の配列番号24の配列を有するオリゴヌクレオチドをプライマーとして用いてPCRを行う。その結果、得られるおよそ1.4Kbpのバンドを精製し、制限酵素BamHI及びXbaI(共に日本国酒造社製)で消化して、同様な制限酵素処理を行ったpBluescriptにT4 DNAリガーゼにて遺伝子をつないでサブクローニングした。

10

【0104】

その後、このプラスミドDNAを精製し、シーケンスにて遺伝子配列を確認し、遺伝子配列が確かにヒトIGG1の重鎖のヒンジ部分からC末端にあたるアミノ酸配列をコードするゲノムDNAであることを確認した(その配列はKabata et al., Sequence of Immunological Interest, NIH publication No 91-3242、1991を参照のこと)。すなわち、この遺伝子は5'端に制限酵素BamHIサイトを有し、3'端にXbaIサイトを有し、pBluescript KSのBamHIサイトとXbaIサイトにクローニングされている。以下、このプラスミドをpBSHIGFcとする。

【0105】

20

pBSEco-DL-2をテンプレートとして用い、同様にMutagenesis Kitを用い、細胞外部分のカルボキシル末端部分、すなわち配列表の配列番号3の500番目のセリン残基の後に、制限酵素BamHIサイトを付加し、さらにその下流に上記のヒトイムノグロブリンIGG1FcをコードするDNAをつなぐためのNotIサイトを付加するために、配列表の配列番号20と配列番号18のオリゴヌクレオチドにて、同様にMutagenesis Kitを用い、これらのサイトの付加を行った。また、この際にはBamHIサイトの付加によりアミノ酸をコードするフレームがずれないように、配列表の配列番号4のDNA配列上の500番目のセリンをコードするDNA配列はAGCからTCGに変更した。

【0106】

30

この様にして作製したベクターをNotI、BamHIにて消化し、上記のpBSHIGFcをNotI、BamHIにて消化し切り出されてくる約1200bpの遺伝子断片をつないで最終的に目的の分泌型新規ヒトデルタ-2のIGG1Fcキメラ蛋白質をコードする遺伝子断片を含むベクターを作成した。最後に、このベクターをEcoRIおよびNotIにて消化し、切り出されてくる約3000bpの遺伝子断片を同様な制限酵素処理したpcDNA3につないで発現ベクターを構築した。このベクターをpHD2EXIgと命名した。

【0107】

40

4) 全長型ヒトデルタ-2の蛋白質(HD2F)発現ベクター

配列表の配列番号4のアミノ酸配列の1番から659番のポリペプチドをコードするcDNAを、発現ベクターpcDNA3につなぎ、発現ベクターを作製した。

40

pBSEco-DL-2をテンプレートとして用い、全長のカルボキシル末端部分、すなわち配列表の配列番号3の659番目のバリンの後に終止コドン、更に制限酵素NotIサイトを付加するため同様にMutagenesis Kitを用い、配列表の配列番号21及び配列番号18の遺伝子配列を有するオリゴヌクレオチドをプライマーとして、C末端に終止コドン、さらにNotIサイトの付加を行った。次に、このベクターをEcoRIおよびNotIにて消化し、切り出されてくる約2100bpの遺伝子断片を同様な制限酵素処理したpcDNA3につないで発現ベクターを構築した。このベクターをpHD2Fと命名した。

【0108】

50

5) 全長型新規ヒトデルタ - 2 の F L A G キメラ蛋白質 (H D 2 F L A G) 発現ベクター配列表の配列番号 3 のアミノ酸配列の 1 番から 6 5 9 番のポリペプチドの C 末端に F L A G 配列をコードする c D N A を付加したキメラ蛋白質をコードする c D N A を、発現ベクター p c D N A 3 につなぎ、発現ベクターを作製した。

p B S E c o - D L - 2 をテンプレートとして、カルボキシル末端部分に F L A G 配列を付加し、ついで終止コドン、更に制限酵素 N o t I サイトを付加するため同様に配列表の配列番号 2 2 及び配列番号 1 8 の遺伝子配列を有するオリゴヌクレオチドをプライマーとして、C 末端に F L A G 配列をコードする遺伝子並びに終止コドン、さらに N o t I サイトの付加を行った。

次に、このベクターを E c o R I および N o t I にて消化し、切り出されてくる約 2 1 0 0 b p の遺伝子断片を同様な制限酵素処理した p c D N A 3 につないで発現ベクターを構築した。このベクターを p H D 2 F L A G と命名した。

【 0 1 0 9 】

実施例 4 各種発現ベクターの細胞への遺伝子導入と発現

実施例 3 で作製した発現ベクターは C O S - 7 細胞 (理化学研究所、細胞開発銀行から入手可能、R C B 0 5 3 9) に遺伝子導入した。

【 0 1 1 0 】

遺伝子導入前の細胞の培養は D - M E M (ダルベッコ改変 M E M 培地、米国 G I B C O - B R L 社製) 1 0 % F C S にて培養した。遺伝子導入の前日に細胞の培地を交換し、細胞数を 5×10^5 c e l l s / m l にして一晚培養した。遺伝子導入の当日、遠心分離にて細胞を沈澱させ、P B S (-) にて 2 回遠心洗浄後、1 m M M g C l ₂、P B S (-) に 1×10^7 c e l l s / m l となるようにして細胞を調製した。遺伝子導入は米国 B i o - R a d 社製遺伝子導入装置ジーンパルサーを用いたエレクトロポレーション法で行った。上記の細胞懸濁液を 5 0 0 μ l エレクトロポレーション専用セル (0 . 4 c m) に取り、発現ベクターを 2 0 μ g 加え、氷中で 5 分間放置した。その後、3 μ F , 4 5 0 V の条件で 2 回電圧をかけ、その 2 回の間は 1 分間室温で放置した。その後、氷中で 5 分間放置後、上記の培地 1 0 m l をあらかじめ分注した直径 1 0 c m 細胞培養用ディッシュに細胞を播種し、3 7 、5 % 炭酸ガスインキュベーターで培養した。

【 0 1 1 1 】

その翌日、培養上清を除去し、ディッシュに付着した細胞を P B S (-) 1 0 m l で 2 回洗浄し、発現ベクター p H D 2 E X、p H D 2 E X F L A G、及び p H D 2 E X I g の場合は無血清の D - M E M 1 0 m l を加えてさらに 7 日間培養し、培養上清を回収し、セントリコン 3 0 (米国アミコン社製) にてバッファーを P B S (-) に置換すると同時に 1 0 倍濃縮を行い、細胞培養上清を得た。

【 0 1 1 2 】

また、p H D 2 F 及び p H D 2 F L A G の場合は、1 0 % F C S を含む D - M E M に培地を交換し、さらに 3 日間培養し、細胞破砕物を調製した。すなわち、 2×10^6 個の細胞をセルリシスバッファー (5 0 m M H e p e s (p H 7 . 5)、1 % T r i t o n X 1 0 0、1 0 % グリセロール、4 m M E D T A、5 0 μ g / m l A p r o t i n i n、1 0 0 μ M L e u p e p t i n、2 5 μ M P e p s t a t i n A N 1 m M P M S F) 2 0 0 μ l に懸濁し、氷中に 2 0 分間放置し、その後 1 4 0 0 0 r p m で 2 0 分間遠心し上清を取り細胞破砕物を得た。

【 0 1 1 3 】

こうして得られたサンプルを用いてウェスタンブロッティング法にて蛋白の発現を確認した。

すなわち、濃縮した培養上清もしくは細胞破砕物を日本国 A C I ジャパン社製の S D S - P A G E 用電気泳動槽及び S D S - P A G E 用ポリアクリルアミドゲル (グラジエントゲル 5 ~ 2 0 %) を用い、添付の取扱い説明書に従って S D S - P A G E をおこなった。サンプルは 2 - メルカプトエタノール (2 - M E) を加えて 5 分間の沸騰水浴加熱処理により還元処理を行ったものと、この処理を行わない非還元状態のものをを用い、マーカーと

10

20

30

40

50

しては米国 A m e r s h a m 社製レインボーマーカー（高分子量用）を用い、サンプルバッファー、泳動バッファーについては添付の取扱い説明書に従って作製した。S D S - P A G E 終了後、アクリルアミドゲルを P V D F メンブランフィルター（米国 B i o R a d 社製）に同社製ミニトランスプロットセルにより転写した。

【0114】

このように作製されたフィルターをブロックエース（日本国大日本製薬社製）、もしくは 5 % 牛由来アルブミン（米国シグマ社製）を含む T B S - T（20 m M T r i s、137 m M N a C l（p H 7.6）、0.1 % T w e e n 20）に 4 晩振盪してブロッキングした。その後、E C L ウェスタンブロッティング検出システム（米国 A m e r s h a m 社）に添付の説明書に従い、実施例 6 に記載した抗新規ヒトデルタ - 2 マウスモノクローナル抗体、もしくは F L A G キメラの場合（H D 2 E X F L A G、H D 2 F L A G）は一次抗体としてマウスモノクローナル抗体 A n t i - F L A G M 2（米国コダック社製）を用い、二次抗体としてペルオキシダーゼ標識抗マウス I g 羊抗体（米国 A m e r s h a m 社製）を反応させた。また、I g G キメラの場合（H D 2 E X I g）は、ペルオキシダーゼ標識抗ヒト I g ヒツジ抗体（米国 A m e r s h a m 社製）を反応させた。

10

【0115】

抗体の反応時間は各々室温で一時間反応させ、各反応間は T B S - T にて 10 分間室温で振盪洗浄する操作を 3 回ずつ繰り返した。最後の洗浄後、フィルターを E C L ウェスタンブロッティング検出システム（米国 A m e r s h a m 社製）の反応液に 5 分間浸し、ポリ塩化ビニリデンラップに包んで X 線フィルムに感光させた。

20

【0116】

その結果、還元処理を行ったサンプルは p H D 2 E X と p H D 2 E X F L A G の導入によって得られた蛋白質は約 65 k ダルトン、p H D 2 E X I g の導入によって得られた蛋白質は約 95 k ダルトン、一方、非還元状態のサンプルは p H D 2 E X I g を導入した場合、150 k から 200 k ダルトンの若干スメア状のバンドで主に約 180 k ダルトンのバンドを検出し、還元条件のほぼ 2 倍の分子量であることから、2 量体が形成されていることを確認した。

【0117】

これらの実験では、コントロールとしてインサートのない p c D N A 3 ベクターを導入した C O S - 7 細胞の細胞破碎物および培養上清を同様に試験したが、抗ヒトデルタ - 2 マウスモノクローナル抗体、抗 F L A G 抗体、抗ヒト I g 抗体に反応するバンドは検出されなかった。

30

以上の結果から、これら 5 種の発現ベクターはいずれも目的のポリペプチドを生産することができた。

【0118】

実施例 5 遺伝子導入細胞による分泌型新規ヒトデルタ - 2 蛋白質の精製

実施例 4 の方法で発現が検出された H D 2 E X F L A G もしくは H D 2 E X I g を含む C O S - 7 細胞培養上清を大量調製し、アフィニティーカラムによってこれらキメラ蛋白質を精製した。

H D 2 E X F L A G に関しては、実施例 4 に記載した方法によって取得した 2 リットルの培養上清を A n t i - F L A G M 2 A f f i n i t y G e l（米国コダック社製）を充填したカラムに通して、キメラ蛋白質が有する F L A G 配列とゲルの A n t i - F L A G 抗体のアフィニティーによりキメラ蛋白質をカラムに吸着させた。カラムは内径 10 mm のディスコカラム（米国 B i o R a d 社製）を用い、上記ゲルを 5 m l 充填した。吸着は培地ボトル カラム ペリスターポンプ 培地ボトルの環流式回路を組み立て、流速 1 m l / 分で 72 時間循環させた。その後、カラムを P B S（-）35 m l で洗浄し、0.5 M T r i s - グリシン（p H 3.0）50 m l で溶出した。あらかじめ小チューブ（米国ファルコン社製 2063）に 0.5 M T r i s - H C l（p H 9.5）を 200 μ l 分注しておき、溶出液は 2 m l ずつ 25 画分をそのチューブに分取し、各々の画分を中和した。

40

50

【0119】

上記の方法で精製された分泌型 F L A G キメラ蛋白質の溶出画分の各 10 μ l は実施例 4 に記載の還元処理を行い、5 - 20 % 濃度勾配ポリアクリルアミドゲルによる S D S - P A G E 電気泳動を行い、電気泳動終了後、日本国和光純薬社製ワコー銀染キット I I を用いて、添付の説明書に従って銀染色を行った。結果として、H D 2 E X F L A G は第 4 番から第 8 番の溶出画分にバンドが検出され、この分子量は実施例 4 で得られた抗 F L A G 抗体によるウェスタンブロッティングの結果と一致した。この結果から H D 2 E X F L A G の純品が精製された。

【0120】

I g G 1 F c キメラ蛋白質、すなわち H D 2 E X I g に関しては、F L A G キメラ蛋白質と同様の操作で培養上清の 2 リットルをスウェーデン国ファルマシア社製 P r o t e i n A セファロースカラムに吸着させ、溶出画分を分取した。

F L A G キメラ蛋白質と同様に溶出液の一部を用いて、還元条件での S D S - P A G E 電気泳動および銀染色により溶出画分の決定、サイズの確認、純度検定を行った。結果として、溶出画分の第 4 番から第 15 番にバンドが検出され、サイズは抗ヒト I g 抗体を用いたウェスタンブロッティングの結果と一致した。この結果から H D 2 E X I g の純品が精製された。

【0121】

このようにして精製された H D 2 E X F L A G の分子量をさらに詳細に S D S - P A G E にて解析したところ、その分子量は 2 つのバンドとして確認され、1 つは 65 . 8 K ダルトン、もう一つは 61 . 7 K ダルトンであった。この 2 種の分子量の異なるバンドを実施例 4 に記載の方法で P V D F に転写して、米国 A B I 社アミノ酸シーケンサーにてそれぞれの N 末端のアミノ酸配列を 10 アミノ酸決定した。その結果、いずれも配列表の配列番号 1 のアミノ酸配列の 1 番から 10 番までにアミノ酸配列に一致した。このことからこの分子量の違いは糖鎖の付加の違いであると考えられた。同様に精製された H D 2 E X I g においてもわずかに分子量が異なる 2 つのバンドが確認され、同様な理由によると考えられた。

【0122】

実施例 6 新規ヒトデルタ - 2 を認識する抗体作成

実施例 8 に記載の方法で精製された H D 2 E X F L A G を免疫原としてウサギに免疫して、抗体価の測定後、全血の採血を行い、血清を採取して、米国 B i o R a d 社製のエコノパック血清 I g G 精製キットを用いて、添付の取扱い説明書に従って、抗新規ヒトデルタ - 2 ウサギポリクローナル抗体を作製した。

また、実施例 5 に記載した方法で精製された H D 2 E X F L A G を免疫原として、成書の方法に従いマウスモノクローナル抗体を作成した。すなわち、上記のように精製された H D 2 E X F L A G を B a l b / c マウス（日本国日本エスエルシー社製）に 1 匹あたり 10 μ g を皮下・皮内に免疫した。2 回の免疫後、眼底採血を行い血清中の抗体価の上昇を認めた後、3 回目の免疫を行ってからマウスの脾臓細胞を取り出し、マウスミエローマ細胞株 P 3 X 6 3 A g 8 (A T C C T I B 9) とポリエチレングリコール法にて細胞融合を行った。H A T 培地（日本国免疫生物研究所製）にてハイブリドーマを選択し、酵素抗体法にて新規ヒトデルタ - 2 の細胞外部分を認識する抗体を培地中に産生しているハイブリドーマ株を分離し、新規ヒトデルタ - 2 を特異的に認識するマウスモノクローナル抗体を産生するハイブリドーマ産生株が樹立された。

【0123】

このようにして樹立されたハイブリドーマの培養上清をスウェーデン国ファルマシア社製 M a b T r a p G I I を用いて、添付の取扱い説明書に従って、抗新規ヒトデルタ - 2 モノクローナル抗体を精製し作製した。

これらモノクローナル抗体を用いてアフィニティーカラムを作製した。アフィニティーカラムの作製はスウェーデン国ファルマシア社製 C N B r 活性化 S e p h a r o s e 4 B にて添付の取扱い説明書に従い行った。このゲルの 2 m l を用いて 2 c m 2 \times 1 c m のサ

10

20

30

40

50

イズのカラムを作製した。

【0124】

抗新規ヒトデルタ - 2モノクローナル抗体を結合させたカラムに対してpHDEXを遺伝子導入したCOS - 7細胞培養上清濃縮液を20ml/hrの速度で流し、その後同一速度でPBS(-)を15ml流して洗浄し、最終的に0.1M酢酸ナトリウム、0.5MNaCl(PH4.0)にて溶出した。この溶離液を1mlずつ分取し、各画分に1MTris-HCl(pH9.5)を200μlずつ加えて、中和した。

さらに実施例4に記載の方法に従って、各々の精製蛋白質を還元条件下でSDS-PAGEを行い、銀染色、及びウェスタンブロッティングを行ない、分子量の推定を行った。

この結果、pHDEXを遺伝子導入したCOS - 7細胞培養上清濃縮液からは約65kダルトンのHD2EXが精製されていることが確認され、これらアフィニティーカラムで新規ヒトデルタ - 2タンパク質が精製可能であることが明らかとなった。

10

【0125】

実施例7 HD2EX Igの血液未分化細胞のコロニー形成に対する作用

HD2EX Igの血液未分化細胞に対する生理作用を観察するため、CD34陽性細胞をHD2EX Igおよび既存のサイトカイン存在下で無血清半固形培地で培養し、コロニー形成細胞の増減を観察した。

ヒト臍帯血もしくはヒト正常骨髓血のCD34陽性細胞は臍帯血もしくは成人正常骨髓血をシリカ液(日本国免疫生物研究所製)により添付の説明書にしたがって処理し、その後フィコールパック(スエーデン国ファルマシア社製)による比重遠心分離法により低密度細胞画分(<1.077g/ml)を分画した単核球より分離した。

20

【0126】

CD34陽性細胞の分離はノルウェー国Dyna1社製DynabeadsM - 450CD34とDETAChA BEADS CD34を用い、添付の取扱説明書に従って分離した。分離後、その純度はFITC標識抗CD34抗体HPCA2(米国ベクトンデッキンソン社製)で染色し、同社のフローサイトメーター(FACSSCAlibur)にて検定し、85%以上の純度を有していることを確認して用いた。

このようにして分離したCD34陽性細胞400個が下記の培地1ml中に存在するように均一に懸濁し、35mmディッシュ(米国ファルコン社製)にまき、37、5%炭酸ガス、5%酸素ガス、90%窒素ガス、100%湿度雰囲気下の炭酸ガスインキュベーターで2週間の培養後、形成された血球コロニーを倒立顕微鏡下で計測した。

30

【0127】

培養に用いた培地は - medium(米国GIBCO - BRL製)に2%Deionized Bovine Serum Albumin(BSA、米国Sigma社製)、10μg/ml ヒトインスリン(米国Sigma社製)、200μg/ml トランスフェリン(米国Sigma社製)、 10^{-6} M 2 -メルカプトエタノール(日本国ナカライテスク社製)、160μg/ml ソイビーンレクチン(米国Sigma社製)、96μg/ml コレステロール(米国Sigma社製)、0.9%メチルセルロース(日本国和光純薬社製)で行った。

上記の培地に、最終的に1μg/mlの濃度となるように新規ヒトデルタ - 2細胞外Igキメラ蛋白質(HD2EX Ig)を加え、比較区にはIgGFc部分の影響を見るため、ヒトIgG1(米国Athens Research and Technology社製)を同濃度加えた。同時に加えたサイトカイン条件は100ng/mlのヒトSCF(米国Inter gen社製)、10ng/mlのヒトIL - 3(米国Inter gen社製)、100ng/mlのヒトIL - 6(米国Inter gen社製)である。

40

【0128】

その結果、比較区ではコロニー形成が細胞400個当たり 42 ± 5 であったが、HD2EX Igを加えた場合には 21 ± 3 と著明にコロニー形成が抑制を受けた。この結果から、本発明分子新規ヒトデルタ - 2は血液未分化細胞に作用することが明らかとなった。

実施例8 無血清液体培養におけるHD2EX Igの血液未分化細胞のLTC - ICに対

50

する作用 HD 2 E X I g の液体培養での血液未分化細胞に対する生理作用を確認するため、臍帯血単核球 C D 3 4 陽性細胞を HD 2 E X I g 及び既存のサイトカイン存在下の無血清培養実験を行った。培養期間は 2 週間で 2 週間の間の現在最も未分化な血液細胞群と考えられる L T C - I C の変化を確認した。

【 0 1 2 9 】

この比較として HD E X I g を加えない比較区及び本発明者が WO 9 7 / 1 9 1 7 2 において同様な試験に於いて L T C - I C 活性を見出しているヒトデルタ - 1 の I g G キメラ蛋白 (H D 1 E X I g) を加えた HD 1 E X I g 区も行った。HD 1 E X I g の作製は WO 9 7 / 1 9 1 7 2 に記載の方法で行った。

実施例 7 に記載した方法で分離した臍帯血単核球 C D 3 4 陽性細胞を 1 6 2 0 0 個を下記の培地で 2 週間培養した。培養前区、HD 2 E X I g 添加区、HD 1 E X I g 添加区と比較区の 4 つの実験区に存在する L T C - I C 数を計測した。

また、細胞数並びにコロニー形成細胞数も各区に於いて計測した。

【 0 1 3 0 】

培養条件は基本培地として α - medium を用い、2 % B S A、 $10 \mu\text{g} / \text{ml}$ ヒトインシュリン、 $200 \mu\text{g} / \text{ml}$ トランスフェリン、 $40 \mu\text{g} / \text{ml}$ 低密度リボプロテイン、 10^{-5}M 2 - メルカプトエタノールを加え、更に $100 \text{ng} / \text{ml}$ ヒト S C F、 $10 \text{ng} / \text{ml}$ ヒト I L - 3、 $100 \text{ng} / \text{ml}$ ヒト I L - 6 を加えた培地を用いた。この培地に HD 2 E X I g 添加区には精製された HD 2 E X I g を $1 \mu\text{g} / \text{ml}$ 、HD 1 E X I g 添加区には精製された HD 1 E X I g を $1 \mu\text{g} / \text{ml}$ 、比較区には前述のヒト I g G 1 を各々添加した。培地交換は週 2 回、半量を交換した。

【 0 1 3 1 】

L T C - I C の測定は S u t h e r l a n d らの方法 (B l o o d、7 4、1 5 6 3 -、1 9 8 9 ; P r o c . N a t l . A c a d . S c i . U . S . A .、8 7、3 5 8 4 -、1 9 9 0) の方法に従って行った。具体的には本発明者の WO 9 7 / 1 9 1 7 2 にも記載されている。

【 0 1 3 2 】

全細胞数は生細胞数をトリパンブルー (米国 G i b c o B R L 社製) による色素法で顕微鏡下で計測し、コロニー形成細胞数は実施例 7 に示す方法で次の培地にて行った。その培地は α - medium に 3 0 % 牛胎児血清 (F C S、日本国 I C N バイオメディカル ジャパン社製)、1 % B S A、 10^{-5}M 2 - メルカプトエタノール、0 . 9 % メチルセルロース (日本国和光純薬社製)、 $100 \text{ng} / \text{ml}$ ヒト S C F、 $10 \text{ng} / \text{ml}$ ヒト I L - 3、 $100 \text{ng} / \text{ml}$ ヒト I L - 6、 $2 \text{U} / \text{ml}$ ヒト E P O (日本国中外製薬社製)、 $10 \text{ng} / \text{ml}$ ヒト G - C S F (米国 I n t e r g e n 社製) を加えた物を用いた。結果を第 1 表に示す。

【 0 1 3 3 】

10

20

30

【表 1】

第1表 本発明分子ヒトデルター 2 の液体培養に対する効果

	全細胞数	コロニー形成細胞	LTC-IC
培養前区	1 6 2 0 0	2 5 0 0	1 5 0
培養後			
比較区	4 4 5 0 0 0	2 3 0 0 0	2. 3
HD1EXIg区	3 9 5 0 0 0	1 6 7 0 0	9. 3
HD2EXIg区	4 1 8 0 0 0	1 6 0 0 0	1 6. 2

10

【0134】

この結果からHD2EXIgはLTC-IC数を比較区に比べ維持する活性を有していることが明らかとなった。また、この活性は比較に用いたヒトデルター 1 よりも強いことが確認された。

20

【0135】

実施例 9 HD2EXIgの血液未分化細胞に対する結合及び分離

精製されたHD2EXIgを用いて、ヒトT細胞系血液細胞株Jurkat及びヒト臍帯血単核球CD34陽性細胞に対する結合を調べた。この結合実験に於いて実施例8同様比較として本発明者により同様な活性が確認されたヒトデルター 1 のIgGキメラ蛋白(HD1EXIg)も比較で実験を行った。

Jurkat細胞は 1×10^6 個を2%FCS、10mM HEPESを含むハンクス液(米国Gibco BRL社製)100 μ lに懸濁し、HD2EXIgもしくはHD1EXIgもしくはヒトIgG1を1 μ g/mlとなるように添加し4で3時間放置し、反応させた。反応後、同様なハンクス液で遠心分離にて洗浄し、PE(フェコエリスリン)標識ヤギ抗ヒトIgGモノクローナル抗体にを1 μ g/ml添加して、30分間氷中で放置した。その後、同様なハンクス液で2回洗浄したのち、最終的に同様なハンクス液に懸濁して、解析に供した。

30

測定はフローサイトメーターFACScalibur(米国ベクトンデッキンソン社)で行った。

結果を第2図に示す。縦軸は細胞数、横軸は蛍光強度である。上段は比較のHD1EXIgの結果を示し、下段は本発明のHD2EXIgの結果を示す。実線はHD1EXIgおよびHD2EXIgの結果であり、破線はヒトIgG1の比較区である。いずれもJurkat細胞に結合していることが観察された。また、その結合を見ると、蛍光強度の強さは上段のHD1EXIgに比べ、本発明のHD2EXIgの方が蛍光強度が強いことが認められる。その蛍光強度の平均値で約2倍程度の強い蛍光強度が得られる。この結果から、HD2EXIgはHD1EXIgに比べ、Jurkat細胞に対して強い結合をすることが理解された。

40

【0136】

次に、同様な染色方法で実施例7の方法で分離されたヒト臍帯血単核球CD34陽性細胞に対する結合を調べた。ただし、この場合は、FITC標識抗ヒトCD34抗体HPCA-2(米国ベクトンデッキンソン社製)による染色も、上記の2次抗体標識時に同時に行い、データはCD34陽性、すなわちFITC陽性画分のみを示す。

50

その結果を第3図に示す。この結果、同様にHD2EXIg、HD1EXIgはCD34陽性細胞に結合し、その結合はHD2EXIgの方が2倍程度HD1EXIgより強いことが示された。

また、HD2EXIgで染色した同様の細胞をセルソータFACSvantage（米国ベクトンデッキンソン社）にて添付の取扱説明書に従って、HD2EXIg陽性画分の細胞を分離した。

【0137】

実施例10 新規ヒトデルタ-2発現細胞との共培養による血液未分化細胞に対する効果

実施例3で作製した全長型新規ヒトデルタ-2のFLAGキメラ蛋白質発現ベクター-pHD2FLAGをマウス細胞株Balb3T3（理化学研究所細胞開発銀行RCB0005）に実施例4に記載した方法で遺伝子導入を行い、成書の方法に従ってG418（米国Gibco BRL社）によるセレクションを行って、クローンを得た。得たクローンを実施例4に記載した方法で全長型ヒトデルタ-2のFLAGキメラ蛋白質の発現を確認して、発現の確認できたクローンを用いて以下の実験を行った。このクローンをBalb/HD2FLAGとする。

【0138】

実施例7の方法で得た臍帯血単核球CD34陽性細胞とBalb/HD2FLAGを共培養した。比較として遺伝子導入していないBalb3T3との共培養も行った。

培養条件は 1) 遺伝子導入していないBalb3T3、造血因子無し。

2) Balb/HD2FLAG、造血因子無し。

3) 遺伝子導入していないBalb3T3、造血因子有り。

4) Balb/HD2FLAG、造血因子有り。

で行った。

【0139】

培地は α -mediumに10%FCS、 10^{-5} M 2-メルカプトエタノールを加えたものを用いた。造血因子添加区では100ng/mlヒトSCF、10ng/mlヒトIL-3、100ng/mlヒトIL-6を加えた。培養期間は2週間で行い、培地交換は週3回の半量を交換した。ヒト血液細胞と共培養する前に、前もって培養しておいた各Balb3T3細胞には250KV PeakのX線を照射して、細胞の増殖を押さえた。

培養前と1)から4)の試験区でのコロニー形成細胞数、LTC-IC数を計測した。

その結果は下記のようになった。

【0140】

培養前では全細胞数20000個でコロニー形成細胞数が3200個、LTC-IC数が220個であった。

1) ではコロニー形成細胞数、LTC-IC数とも測定できない位少なかった。

2) ではコロニー形成細胞数は測定できないくらい少なかった。LTC-ICは105個であった。

3) ではコロニー形成細胞数は26500個、LTC-ICは90個であった。

4) ではコロニー形成細胞数は38000個、LTC-ICは120個であった。

また、3)と4)のコロニー形成細胞の内訳を解析したところ、3)では顆粒球系のコロニーしか観察されなかったが、4)では赤芽球系も観察され、コロニー形成細胞数の差はこの赤芽球系コロニー数の違いによるものであることが判った。

【0141】

この結果から、Balb/HD2FLAG細胞はコロニー形成、特に赤芽球系コロニーの増幅作用を有し、LTC-IC維持作用も有していることが明らかとなった。この結果から、本ヒトデルタ-2発現ベクターを用いれば造血細胞維持活性を持つ細胞を作り出すことができることが明らかとなった。

【0142】

実施例11 新規ヒトデルタ-2を固定化した器材の作製とその効果

10

20

30

40

50

実施例 5 にて作製された H D 2 E X I g を固定化したセファロースゲルを作製した。セファロースゲルはスエーデン国ファルマシア社製 C N B r 活性化セファロースゲルを用い、添付の説明書にしたがって H D 2 E X I g を固定化した。

このように作製されたゲルと実施例 7 の方法で分離された請帯血単核球 C D 3 4 陽性細胞を 1 昼夜培養した。培養条件は実施例 1 0 と同一の培地で、比較区として B S A を固定化した同セファロースゲルを作製し、同様の実験を行った。培養後、実施例 8 の方法でコロニー形成細胞数を測定した。その結果、H D 2 E X I g を固定化したゲルではコロニー形成細胞がおよそ 4 割程度少なくなる現象が確認された。

したがって、本発明のヒトデルタ - 2 が固定化された器材は造血細胞に対して作用を有することが明らかになった。

【 0 1 4 3 】

実施例 1 2 新規ヒトデルタ - 2 の血管内皮細胞増殖に及ぼす変化

血管内皮細胞は、日本国クラボウ社製の正常ヒト大動脈血管内皮細胞と正常ヒト肺動脈血管内皮細胞のそれぞれ 4 次継代培養細胞を用いた。細胞は、3 次培養の継代時に組織培養用 9 6 ウェルプレート（米国ファルコン社製）に 5 0 0 0 細胞数 / ウェルずつ蒔き、日本国クラボウ社製のヒトリコンビナント E G F を 1 0 n g / m l , ヒトリコンビナント F G F - B を 5 n g / m l 各々含有する低血清血管内皮細胞増殖用培地（HuMedia - E G 2、日本国クラボウ社製）中で培養し、その際、最終的に 1 μ g / m l の濃度となるように新規ヒトデルタ - 2 細胞外 I g キメラ蛋白質（H D 2 E X I g）を加え、比較区には I g G F c 部分の影響を見るため、ヒト I g G 1（米国 Athens Research and Technology 社製）を同濃度加えた。尚、対照は HuMedia - E G 2 以外の添加蛋白質無しの条件で培養を行った。培養は 3 7 $^{\circ}$ C , 5 % 炭酸ガス , 1 0 0 % 湿度雰囲気下で 3 日間行った後に、細胞を計数した。

【 0 1 4 4 】

血管内皮細胞の計数は、Borenfreund と Puerner（Journal of Tissue Culture Methods 9（1）, 7 - 9 , 1 9 8 4）によって開発された方法、すなわち、生体染色色素の neutral red（3 - amino - 7 - dimethyl amino - 2 - methyl phenazine hydrochloride）が生きている細胞においてのみ原形質膜を通りリソソームに蓄積されることを利用したニューラルレッド法を原理とした日本国クラボウ社製の N R 試薬セットを用い、5 4 0 n m の吸光度は日本国日本インターメッド社製イムノリーダー（NJ - 2 0 0 0）で測定した。その結果、大動脈血管内皮細胞の場合は対照区では吸光度の値が Optical Density（OD）として 0 . 1 8 \pm 0 . 0 2 であり、ヒト I g G 1 添加区ではほぼ同様な 0 . 1 7 \pm 0 . 0 2 であったが、H D 2 E X I g 添加区では 0 . 1 1 \pm 0 . 0 1 でありと著明に少なかった。また、肺動脈血管内皮細胞の場合は対照区では 0 . 1 6 \pm 0 . 0 2 であり、ヒト I g G 1 添加区ではほぼ同様な 0 . 1 6 \pm 0 . 0 1 であったが、H D 2 E X I g 添加区では 0 . 0 8 \pm 0 . 0 1 でありと著明に少なかった。これらの結果から、H D 2 E X I g は血管内皮細胞の増殖を抑制することかわかった。

【 0 1 4 5 】

実施例 1 3 薬剤の作製

実施例 5 に示された各ポリペプチド 1 m g に対して人血清アルブミン（ミドリ十字社製）5 m g となるように 1 m l の蒸留水に溶解し、0 . 2 2 μ m の滅菌フィルターにて濾過滅菌後、バイアル瓶に分注して凍結乾燥して作製した。

【 0 1 4 6 】

10

20

30

40

配列表

配列番号 : 1

配列の長さ : 191

配列の型 : アミノ酸

トポロジー : 直鎖状

配列の種類 : ペプチド

10

起源

生物名 : ヒト

配列

Ser Gly Val Phe Gln Leu Gln Leu Gln Glu Phe Ile Asn Glu Arg Gly

1 5 10 15

Val Leu Ala Ser Gly Arg Pro Cys Glu Pro Gly Cys Arg Thr Phe Phe

20

20 25 30

Arg Val Cys Leu Lys His Phe Gln Ala Val Val Ser Pro Gly Pro Cys

35 40 45

Thr Phe Gly Thr Val Ser Thr Pro Val Leu Gly Thr Asn Ser Phe Ala

50 55 60

Val Arg Asp Asp Ser Ser Gly Gly Gly Arg Asn Pro Leu Gln Leu Pro

30

65 70 75 80

Phe Asn Phe Thr Trp Pro Gly Thr Phe Ser Leu Ile Ile Glu Ala Trp

85 90 95

His Ala Pro Gly Asp Asp Leu Arg Pro Glu Ala Leu Pro Pro Asp Ala

100 105 110

Leu Ile Ser Lys Ile Ala Ile Gln Gly Ser Leu Ala Val Gly Gln Asn

40

115 120 125

Trp Leu Leu Asp Glu Gln Thr Ser Thr Leu Thr Arg Leu Arg Tyr Ser

130 135 140

Tyr Arg Val Ile Cys Ser Asp Asn Tyr Tyr Gly Asp Asn Cys Ser Arg

145 150 155 160
 Leu Cys Lys Lys Arg Asn Asp His Phe Gly His Tyr Val Cys Gln Pro
 165 170 175
 Asp Gly Asn Leu Ser Cys Leu Pro Gly Trp Thr Gly Glu Tyr Cys
 180 185 190 191

10

配列番号 : 2

配列の長さ : 5 0 0

配列の型 : アミノ酸

トポロジー : 直鎖状

配列の種類 : ペプチド

起源

20

生物名 : ヒト

配列

Ser Gly Val Phe Gln Leu Gln Leu Gln Glu Phe Ile Asn Glu Arg Gly
 1 5 10 15
 Val Leu Ala Ser Gly Arg Pro Cys Glu Pro Gly Cys Arg Thr Phe Phe
 20 25 30
 Arg Val Cys Leu Lys His Phe Gln Ala Val Val Ser Pro Gly Pro Cys
 35 40 45
 Thr Phe Gly Thr Val Ser Thr Pro Val Leu Gly Thr Asn Ser Phe Ala
 50 55 60
 Val Arg Asp Asp Ser Ser Gly Gly Gly Arg Asn Pro Leu Gln Leu Pro
 65 70 75 80
 Phe Asn Phe Thr Trp Pro Gly Thr Phe Ser Leu Ile Ile Glu Ala Trp
 85 90 95
 His Ala Pro Gly Asp Asp Leu Arg Pro Glu Ala Leu Pro Pro Asp Ala
 100 105 110

30

40

Leu Ile Ser Lys Ile Ala Ile Gln Gly Ser Leu Ala Val Gly Gln Asn

115

120

125

Trp Leu Leu Asp Glu Gln Thr Ser Thr Leu Thr Arg Leu Arg Tyr Ser

130

135

140

Tyr Arg Val Ile Cys Ser Asp Asn Tyr Tyr Gly Asp Asn Cys Ser Arg

145

150

155

160

10

Leu Cys Lys Lys Arg Asn Asp His Phe Gly His Tyr Val Cys Gln Pro

165

170

175

Asp Gly Asn Leu Ser Cys Leu Pro Gly Trp Thr Gly Glu Tyr Cys Gln

180

185

190

Gln Pro Ile Cys Leu Ser Gly Cys His Glu Gln Asn Gly Tyr Cys Ser

195

200

205

20

Lys Pro Ala Glu Cys Leu Cys Arg Pro Gly Trp Gln Gly Arg Leu Cys

210

215

220

Asn Glu Cys Ile Pro His Asn Gly Cys Arg His Gly Thr Cys Ser Thr

225

230

235

240

Pro Trp Gln Cys Thr Cys Asp Glu Gly Trp Gly Gly Leu Phe Cys Asp

245

250

255

Gln Asp Leu Asn Tyr Cys Thr His His Ser Pro Cys Lys Asn Gly Ala

260

265

270

30

Thr Cys Ser Asn Ser Gly Gln Arg Ser Tyr Thr Cys Thr Cys Arg Pro

275

280

285

Gly Tyr Thr Gly Val Asp Cys Glu Leu Glu Leu Ser Glu Cys Asp Ser

290

295

300

Asn Pro Cys Arg Asn Gly Gly Ser Cys Lys Asp Gln Glu Asp Gly Tyr

305

310

315

320

40

His Cys Leu Cys Pro Pro Gly Tyr Tyr Gly Leu His Cys Glu His Ser

325

330

335

Thr Leu Ser Cys Ala Asp Ser Pro Cys Phe Asn Gly Gly Ser Cys Arg
 340 345 350
 Glu Arg Asn Gln Gly Ala Asn Tyr Ala Cys Glu Cys Pro Pro Asn Phe
 355 360 365
 Thr Gly Ser Asn Cys Glu Lys Lys Val Asp Arg Cys Thr Ser Asn Pro
 370 375 380
 Cys Ala Asn Gly Gly Gln Cys Leu Asn Arg Gly Pro Ser Arg Met Cys
 385 390 395 400
 Arg Cys Arg Pro Gly Phe Thr Gly Thr Tyr Cys Glu Leu His Val Ser
 405 410 415
 Asp Cys Ala Arg Asn Pro Cys Ala His Gly Gly Thr Cys His Asp Leu
 420 425 430
 Glu Asn Gly Leu Met Cys Thr Cys Pro Ala Gly Phe Ser Gly Arg Arg
 435 440 445
 Cys Glu Val Arg Thr Ser Ile Asp Ala Cys Ala Ser Ser Pro Cys Phe
 450 455 460
 Asn Arg Ala Thr Cys Tyr Thr Asp Leu Ser Thr Asp Thr Phe Val Cys
 465 470 475 480
 Asn Cys Pro Tyr Gly Phe Val Gly Ser Arg Cys Glu Phe Pro Val Gly
 485 490 495
 Leu Pro Pro Ser
 500

10

20

30

配列番号 : 3

配列の長さ : 6 5 9

40

配列の型 : アミノ酸

トポロジー : 直鎖状

配列の種類 : ペプチド

40

195	200	205	
Lys Pro Ala Glu Cys Leu Cys Arg Pro Gly Trp Gln Gly Arg Leu Cys			
210	215	220	
Asn Glu Cys Ile Pro His Asn Gly Cys Arg His Gly Thr Cys Ser Thr			
225	230	235	240
Pro Trp Gln Cys Thr Cys Asp Glu Gly Trp Gly Gly Leu Phe Cys Asp			10
245	250	255	
Gln Asp Leu Asn Tyr Cys Thr His His Ser Pro Cys Lys Asn Gly Ala			
260	265	270	
Thr Cys Ser Asn Ser Gly Gln Arg Ser Tyr Thr Cys Thr Cys Arg Pro			
275	280	285	
Gly Tyr Thr Gly Val Asp Cys Glu Leu Glu Leu Ser Glu Cys Asp Ser			20
290	295	300	
Asn Pro Cys Arg Asn Gly Gly Ser Cys Lys Asp Gln Glu Asp Gly Tyr			
305	310	315	320
His Cys Leu Cys Pro Pro Gly Tyr Tyr Gly Leu His Cys Glu His Ser			
325	330	335	
Thr Leu Ser Cys Ala Asp Ser Pro Cys Phe Asn Gly Gly Ser Cys Arg			30
340	345	350	
Glu Arg Asn Gln Gly Ala Asn Tyr Ala Cys Glu Cys Pro Pro Asn Phe			
355	360	365	
Thr Gly Ser Asn Cys Glu Lys Lys Val Asp Arg Cys Thr Ser Asn Pro			
370	375	380	
Cys Ala Asn Gly Gly Gln Cys Leu Asn Arg Gly Pro Ser Arg Met Cys			
385	390	395	400
Arg Cys Arg Pro Gly Phe Thr Gly Thr Tyr Cys Glu Leu His Val Ser			40
405	410	415	
Asp Cys Ala Arg Asn Pro Cys Ala His Gly Gly Thr Cys His Asp Leu			

420	425	430	
Glu Asn Gly Leu Met Cys Thr Cys Pro Ala Gly Phe Ser Gly Arg Arg			
435	440	445	
Cys Glu Val Arg Thr Ser Ile Asp Ala Cys Ala Ser Ser Pro Cys Phe			
450	455	460	
Asn Arg Ala Thr Cys Tyr Thr Asp Leu Ser Thr Asp Thr Phe Val Cys			10
465	470	475	480
Asn Cys Pro Tyr Gly Phe Val Gly Ser Arg Cys Glu Phe Pro Val Gly			
485	490	495	
Leu Pro Pro Ser Phe Pro Trp Val Ala Val Ser Leu Gly Val Gly Leu			
500	505	510	
Ala Val Leu Leu Val Leu Leu Gly Met Val Ala Val Ala Val Arg Gln			20
515	520	525	
Leu Arg Leu Arg Arg Pro Asp Asp Gly Ser Arg Glu Ala Met Asn Asn			
530	535	540	
Leu Ser Asp Phe Gln Lys Asp Asn Leu Ile Pro Ala Ala Gln Leu Lys			
545	550	555	560
Asn Thr Asn Gln Lys Lys Glu Leu Glu Val Asp Cys Gly Leu Asp Lys			
565	570	575	30
Ser Asn Cys Gly Lys Gln Gln Asn His Thr Leu Asp Tyr Asn Leu Ala			
580	585	590	
Pro Gly Pro Leu Gly Arg Gly Thr Met Pro Gly Lys Phe Pro His Ser			
595	600	605	
Asp Lys Ser Leu Gly Glu Lys Ala Pro Leu Arg Leu His Ser Glu Lys			
610	615	620	40
Pro Glu Cys Arg Ile Ser Ala Ile Cys Ser Pro Arg Asp Ser Met Tyr			
625	630	635	640
Gln Ser Val Cys Leu Ile Ser Glu Glu Arg Asn Glu Cys Val Ile Ala			

	645	650	655
Thr Glu Val			
659			

配列番号 : 4

配列の長さ : 3 3 3 9

配列の型 : 核酸

鎖の数 : 二本鎖

トポロジー：直鎖状

配列の種類：cDNA to mRNA

起源

生物名：ヒト

配列

	GCCGCC	TTGGTGCAGC	16			
GTACACCGGC	ACTAGCCCCG	TTGCAGCCCC	AGGATTAGAC	AGAAGACGCG	TCCTCGGCGC	76
GGTCGCGCGC	CAGCCGTAGT	CACCTGGATT	ACCTACAGCG	GCAGCTGCAG	CGGAGCCAGC	136
GAGAAGGCCA	AAGGGGAGCA	GCGTCCCGAG	AGGAGCGCCT	CTTTTCAGGG	ACCCCGCCGG	196
CTGGCGGACG	CGCGGGAAAG	CGGCGTCGCG	AACAGAGCCA	GATTGAGGGC	CCGCGGGTGG	256
AGAGAGCGAC	GCCCGAGGGG	ATG GCG GCA GCG TCC CGG AGC GCC TCT GGC	306			
		Met Ala Ala Ala Ser Arg Ser Ala Ser Gly				
	-26 -25	-20				
TGG GCG CTA CTG CTG CTG GTG GCA CTT TGG CAG CAG CGC GCG GCC GGC	354					
Trp Ala Leu Leu Leu Leu Val Ala Leu Trp Gln Gln Arg Ala Ala Gly						
-15	-10	-5	-1			
TCC GGC GTC TTC CAG CTG CAG CTG CAG GAG TTC ATC AAC GAG CGC GGC	402					
Ser Gly Val Phe Gln Leu Gln Leu Gln Glu Phe Ile Asn Glu Arg Gly						
1	5	10	15			
GTA CTG GCC AGT GGG CGG CCT TGC GAG CCC GGC TGC CGG ACT TTC TTC	450					

Val	Leu	Ala	Ser	Gly	Arg	Pro	Cys	Glu	Pro	Gly	Cys	Arg	Thr	Phe	Phe		
		20							25					30			
CGC	GTC	TGC	CTT	AAG	CAC	TTC	CAG	GCG	GTC	GTC	TCG	CCC	GGA	CCC	TGC	498	
Arg	Val	Cys	Leu	Lys	His	Phe	Gln	Ala	Val	Val	Ser	Pro	Gly	Pro	Cys		
		35					40						45				
ACC	TTC	GGG	ACC	GTC	TCC	ACG	CCG	GTA	TTG	GGC	ACC	AAC	TCC	TTC	GCT	546	10
Thr	Phe	Gly	Thr	Val	Ser	Thr	Pro	Val	Leu	Gly	Thr	Asn	Ser	Phe	Ala		
		50				55						60					
GTC	CGG	GAC	GAC	AGT	AGC	GGC	GGG	GGG	CGC	AAC	CCT	CTC	CAA	CTG	CCC	594	
Val	Arg	Asp	Asp	Ser	Ser	Gly	Gly	Gly	Arg	Asn	Pro	Leu	Gln	Leu	Pro		
	65				70				75					80			
TTC	AAT	TTC	ACC	TGG	CCG	GGT	ACC	TTC	TCG	CTC	ATC	ATC	GAA	GCT	TGG	642	20
Phe	Asn	Phe	Thr	Trp	Pro	Gly	Thr	Phe	Ser	Leu	Ile	Ile	Glu	Ala	Trp		
				85				90					95				
CAC	GCG	CCA	GGA	GAC	GAC	CTG	CGG	CCA	GAG	GCC	TTG	CCA	CCA	GAT	GCA	690	
His	Ala	Pro	Gly	Asp	Asp	Leu	Arg	Pro	Glu	Ala	Leu	Pro	Pro	Asp	Ala		
		100						105					110				
CTC	ATC	AGC	AAG	ATC	GCC	ATC	CAG	GGC	TCC	CTA	GCT	GTG	GGT	CAG	AAC	738	30
Leu	Ile	Ser	Lys	Ile	Ala	Ile	Gln	Gly	Ser	Leu	Ala	Val	Gly	Gln	Asn		
		115					120					125					
TGG	TTA	TTG	GAT	GAG	CAA	ACC	AGC	ACC	CTC	ACA	AGG	CTG	CGC	TAC	TCT	786	
Trp	Leu	Leu	Asp	Glu	Gln	Thr	Ser	Thr	Leu	Thr	Arg	Leu	Arg	Tyr	Ser		
		130					135					140					
TAC	CGG	GTC	ATC	TGC	AGT	GAC	AAC	TAC	TAT	GGA	GAC	AAC	TGC	TCC	CGC	834	40
Tyr	Arg	Val	Ile	Cys	Ser	Asp	Asn	Tyr	Tyr	Gly	Asp	Asn	Cys	Ser	Arg		
	145				150				155				160				
CTG	TGC	AAG	AAG	CGC	AAT	GAC	CAC	TTC	GGC	CAC	TAT	GTG	TGC	CAG	CCA	882	
Leu	Cys	Lys	Lys	Arg	Asn	Asp	His	Phe	Gly	His	Tyr	Val	Cys	Gln	Pro		

165	170	175	
GAT GGC AAC TTG TCC TGC CTG CCC GGT TGG ACT GGG GAA TAT TGC CAA	930		
Asp Gly Asn Leu Ser Cys Leu Pro Gly Trp Thr Gly Glu Tyr Cys Gln			
180	185	190	
CAG CCT ATC TGT CTT TCG GGC TGT CAT GAA CAG AAT GGC TAC TGC AGC	978		
Gln Pro Ile Cys Leu Ser Gly Cys His Glu Gln Asn Gly Tyr Cys Ser			10
195	200	205	
AAG CCA GCA GAG TGC CTC TGC CGC CCA GGC TGG CAG GGC CGG CTG TGT	1026		
Lys Pro Ala Glu Cys Leu Cys Arg Pro Gly Trp Gln Gly Arg Leu Cys			
210	215	220	
AAC GAA TGC ATC CCC CAC AAT GGC TGT CGC CAC GGC ACC TGC AGC ACT	1074		
Asn Glu Cys Ile Pro His Asn Gly Cys Arg His Gly Thr Cys Ser Thr			20
225	230	235	240
CCC TGG CAA TGT ACT TGT GAT GAG GGC TGG GGA GGC CTG TTT TGT GAC	1122		
Pro Trp Gln Cys Thr Cys Asp Glu Gly Trp Gly Gly Leu Phe Cys Asp			
245	250	255	
CAA GAT CTC AAC TAC TGC ACC CAC CAC TCC CCA TGC AAG AAT GGG GCA	1170		
Gln Asp Leu Asn Tyr Cys Thr His His Ser Pro Cys Lys Asn Gly Ala			30
260	265	270	
ACG TGC TCC AAC AGT GGG CAG CGA AGC TAC ACC TGC ACC TGT CGC CCA	1218		
Thr Cys Ser Asn Ser Gly Gln Arg Ser Tyr Thr Cys Thr Cys Arg Pro			
275	280	285	
GGC TAC ACT GGT GTG GAC TGT GAG CTG GAG CTC AGC GAG TGT GAC AGC	1266		
Gly Tyr Thr Gly Val Asp Cys Glu Leu Glu Leu Ser Glu Cys Asp Ser			40
290	295	300	
AAC CCC TGT CGC AAT GGA GGC AGC TGT AAG GAC CAG GAG GAT GGC TAC	1314		
Asn Pro Cys Arg Asn Gly Gly Ser Cys Lys Asp Gln Glu Asp Gly Tyr			
305	310	315	320

CAC TGC CTG TGT CCT CCG GGC TAC TAT GGC CTG CAT TGT GAA CAC AGC	1362	
His Cys Leu Cys Pro Pro Gly Tyr Tyr Gly Leu His Cys Glu His Ser		
325 330 335		
ACC TTG AGC TGC GCC GAC TCC CCC TGC TTC AAT GCG GGC TCC TGC CGG	1410	
Thr Leu Ser Cys Ala Asp Ser Pro Cys Phe Asn Gly Gly Ser Cys Arg		
340 345 350		
GAG CGC AAC CAG GGG GCC AAC TAT GCT TGT GAA TGT CCC CCC AAC TTC	1458	10
Glu Arg Asn Gln Gly Ala Asn Tyr Ala Cys Glu Cys Pro Pro Asn Phe		
355 360 365		
ACC GGC TCC AAC TGC GAG AAG AAA GTG GAC AGG TGC ACC AGC AAC CCC	1506	
Thr Gly Ser Asn Cys Glu Lys Lys Val Asp Arg Cys Thr Ser Asn Pro		
370 375 380		
TGT GCC AAC GGG GGA CAG TGC CTG AAC CGA GGT CCA AGC CGC ATG TGC	1554	20
Cys Ala Asn Gly Gly Gln Cys Leu Asn Arg Gly Pro Ser Arg Met Cys		
385 390 395 400		
CGC TGC CGT CCT GGA TTC ACG GGC ACC TAC TGT GAA CTC CAC GTC AGC	1602	
Arg Cys Arg Pro Gly Phe Thr Gly Thr Tyr Cys Glu Leu His Val Ser		
405 410 415		
GAC TGT GCC CGT AAC CCT TGC GCC CAC GGT GGC ACT TGC CAT GAC CTG	1650	30
Asp Cys Ala Arg Asn Pro Cys Ala His Gly Gly Thr Cys His Asp Leu		
420 425 430		
GAG AAT GGG CTC ATG TGC ACC TGC CCT GCC GGC TTC TCT GGC CGA CGC	1698	
Glu Asn Gly Leu Met Cys Thr Cys Pro Ala Gly Phe Ser Gly Arg Arg		
435 440 445		
TGT GAG GTG CGG ACA TCC ATC GAT GCC TGT GCC TCG AGT CCC TGC TTC	1746	40
Cys Glu Val Arg Thr Ser Ile Asp Ala Cys Ala Ser Ser Pro Cys Phe		
450 455 460		
AAC AGG GCC ACC TGC TAC ACC GAC CTC TCC ACA GAC ACC TTT GTG TGC	1794	

Asn Arg Ala Thr Cys Tyr Thr Asp Leu Ser Thr Asp Thr Phe Val Cys			
465	470	475	480
AAC TGC CCT TAT GGC TTT GTG GGC AGC CGC TGC GAG TTC CCC GTG GGC	1842		
Asn Cys Pro Tyr Gly Phe Val Gly Ser Arg Cys Glu Phe Pro Val Gly			
485	490	495	
TTG CCG CCC AGC TTC CCC TGG GTG GCC GTC TCG CTG GGT GTG GGG CTG	1890		10
Leu Pro Pro Ser Phe Pro Trp Val Ala Val Ser Leu Gly Val Gly Leu			
500	505	510	
GCA GTG CTG CTG GTA CTG CTG GGC ATG GTG CCA GTG GCT GTG CGG CAG	1938		
Ala Val Leu Leu Val Leu Leu Gly Met Val Ala Val Ala Val Arg Gln			
515	520	525	
CTG CGG CTT CGA CGG CCG GAC GAC GGC AGC AGG GAA GCC ATG AAC AAC	1986		20
Leu Arg Leu Arg Arg Pro Asp Asp Gly Ser Arg Glu Ala Met Asn Asn			
530	535	540	
TTG TCG GAC TTC CAG AAG GAC AAC CTG ATT CCT GCC GCC CAG CTT AAA	2034		
Leu Ser Asp Phe Gln Lys Asp Asn Leu Ile Pro Ala Ala Gln Leu Lys			
545	550	555	560
AAC ACA AAC CAG AAG AAG GAG CTG GAA GTG GAC TGT GGC CTG GAC AAG	2082		
Asn Thr Asn Gln Lys Lys Glu Leu Glu Val Asp Cys Gly Leu Asp Lys			30
565	570	575	
TCC AAC TGT GGC AAA CAG CAA AAC CAC ACA TTG GAC TAT AAT CTG GCC	2130		
Ser Asn Cys Gly Lys Gln Gln Asn His Thr Leu Asp Tyr Asn Leu Ala			
580	585	590	
CCA GGG CCC CTG GGG CGG GGG ACC ATG CCA GGA AAG TTT CCC CAC AGT	2178		
Pro Gly Pro Leu Gly Arg Gly Thr Met Pro Gly Lys Phe Pro His Ser			40
595	600	605	
GAC AAG AGC TTA GGA GAG AAG GCG CCA CTG CGG TTA CAC AGT GAA AAG	2226		
Asp Lys Ser Leu Gly Glu Lys Ala Pro Leu Arg Leu His Ser Glu Lys			

610	615	620	
CCA GAG TGT CGG ATA TCA GCG ATA TGC TCC CCC AGG GAC TCC ATG TAC	2274		
Pro Glu Cys Arg Ile Ser Ala Ile Cys Ser Pro Arg Asp Ser Met Tyr			
625	630	635	640
CAG TCT GTG TGT TTG ATA TCA GAG GAG AGG AAT GAA TGT GTC ATT GCC	2322		
Gln Ser Val Cys Leu Ile Ser Glu Glu Arg Asn Glu Cys Val Ile Ala			10
	645	650	655
ACG GAG GTA			2331
Thr Glu Val			
659			
TAAGGCAGGA GCCTACCTGG ACATCCCTGC TCAGCCCCGC GGCTGGACCT TCCTTCTGCA	2391		
TTGTTTACAT TGCATCCTGG ATGGGACCTT TTTCATATGC AACGTGCTGC TCTCAGGAGG	2451		20
AGGAGGGAAT GGCAGGAACC GGACAGACTG TGAACTTGCC AAGAGATCCA ATACCCTTCC	2511		
ACACCTTTGG GTGTCTGTCT GGCATCAGAT TGGCAGCTGC ACCAACCAGA GGAACAGAAG	2571		
AGAAGAGAGA TGCCACTGGG CACTGCCCTG CCAGTAGTGG CCTTCAGGGG GCTCCTTCCG	2631		
GGGCTCCGGC CTGTTTTCCA GAGAGAGTGG CAGTAGCCCC ATGGGGCCCG GAGCTGCTGT	2691		
GGCCTCCACT GGCATCCGTG TTTCCAAAAG TGCCTTTGGC CCAGGCTCCA CGGCGACAGT	2751		
TGGGCCCCAA TCAGAAAGGA GAGAGGGGGC CAATGAGGGC AGGGCCTCCT GTGGGCTGGA	2811		30
AAACCACTGG GTGCGTCTCT TGCTGGGGTT TGCCCTGGAG GTGAGGTGAG TGCTCGAGGG	2871		
AGGGGAGTGC TTTCTGCCCC ATGCCTCCAA CTACTGTATG CAGGCCTGGC TCTCTGGTCT	2931		
AGGCCCTTTG GGCAAGAATG TCCGTCTACC CGGCTTCCAC CACCCTCTGG CCCTGGGCTT	2991		
CTGTAAGCAG ACAGGCAGAG GGCCTGCCCC TCCCACCAGC CAAGGGTGCC AGGCCTAACT	3051		
GGGGCACTCA GGGCAGTGTG TTGGAAATTC CACTGAGGGG GAAATCAGGT GCTGCGGCCG	3111		
CCTGGGGCCT TTCCTCCCTC AAGCCCATCT CCACAACCTC GAGCCTGGGC TCTGGTCCAC	3171		
TACTGCCCCA GACCACCCTC AAAGCTGGTC TTCAGAAATC AATAATATGA GTTTTTATTT	3231		40
TGTTTTTTTT TTTTTTTTGT TAGTTTATTT TGGAGTCTAG TATTTCAATA ATTTAAGAA	3291		
CAGAAGCACT GACCTTTCTA CATTTTATAA CATTATTTTG TATATAAT	3339		

配列番号 : 5

配列の長さ : 27

配列の型 : 核酸

鎖の数 : 一本鎖

トポロジー : 直鎖状

配列の種類 : 他の核酸 (化学合成DNA)

10

配列

GAT TAT AAA GAT GAT GAT GAT AAA TGA

27

Asp Tyr Lys Asp Asp Asp Asp Lys

1 5 8

配列番号 : 6

20

配列の長さ : 20

配列の型 : 核酸

鎖の数 : 一本鎖

トポロジー : 直鎖状

配列の種類 : 他の核酸 (化学合成DNA)

配列

TGGCARTGYA AYTGYCARGA

20

30

配列番号 : 7

配列の長さ : 20

配列の型 : 核酸

鎖の数 : 一本鎖

トポロジー : 直鎖状

40

配列の種類 : 他の核酸 (化学合成DNA)

配列

ATYTTYTTYT CRCARTTAA

20

配列番号 : 8

配列の長さ : 2 6 6 3

配列の型 : 核酸

鎖の数 : 二本鎖

トポロジー : 直鎖状

配列の種類 : cDNA to mRNA

10

起源

生物名 : ヒト

配列

CTTGGGAA GAGGCGGAGA CCGGCTTTTA AAGAAAGAAG TCCTGGGTCC TGCGGTCTGG	58	
GGCGAGGCAA GGGCGCTTTT CTGCCCACGC TCCCCGTGGC CCATCGATCC CCCGCGCGTC	118	
CGCCGCTGTT CTAAGGAGAG AAGTGGGGGC CCCCAGGCT CGCGCGTGGA GCGAAGCAGC	178	
ATG GGC AGT CGG TGC GCG CTG GCC CTG GCG GTG CTC TCG GCC TTG CTG	226	20
Met Gly Ser Arg Cys Ala Leu Ala Leu Ala Val Leu Ser Ala Leu Leu		
-20 -15 -10		
TGT CAG GTC TGG AGC TCT GGG GTG TTC GAA CTG AAG CTG CAG GAG TTC	274	
Cys Gln Val Trp Ser Ser Gly Val Phe Glu Leu Lys Leu Gln Glu Phe		
-5 -1 1 5 10		
GTC AAC AAG AAG GGG CTG CTG GGG AAC CGC AAC TGC TGC CGC GGG GGC	322	30
Val Asn Lys Lys Gly Leu Leu Gly Asn Arg Asn Cys Cys Arg Gly Gly		
15 20 25		
GCG GGG CCA CCG CCG TGC GCC TGC CGG ACC TTC TTC CGC GTG TGC CTC	370	
Ala Gly Pro Pro Pro Cys Ala Cys Arg Thr Phe Phe Arg Val Cys Leu		
30 35 40		
AAG CAC TAC CAG GCC AGC GTG TCC CCC GAG CCG CCC TGC ACC TAC GGC	418	40
Lys His Tyr Gln Ala Ser Val Ser Pro Glu Pro Pro Cys Thr Tyr Gly		
45 50 55		
AGC GCC GTC ACC CCC GTG CTG GGC GTC GAC TCC TTC AGT CTG CCC GAC	466	

Ser Ala Val Thr Pro Val Leu Gly Val Asp Ser Phe Ser Leu Pro Asp		
60 65 70 75		
GGC GGC GGC GCC GAC TCC GCG TTC AGC AAC CCC ATC CGC TTC CCC TTC	514	
Gly Gly Gly Ala Asp Ser Ala Phe Ser Asn Pro Ile Arg Phe Pro Phe		
80 85 90		
GGC TTC ACC TGG CCG GGC ACC TTC TCT CTG ATT ATT GAA GCT CTC CAC	562	10
Gly Phe Thr Trp Pro Gly Thr Phe Ser Leu Ile Ile Glu Ala Leu His		
95 100 105		
ACA GAT TCT CCT GAT GAC CTC GCA ACA GAA AAC CCA GAA AGA CTC ATC	610	
Thr Asp Ser Pro Asp Asp Leu Ala Thr Glu Asn Pro Glu Arg Leu Ile		
110 115 120		
AGC CGC CTG GCC ACC CAG AGG CAC CTG ACG GTG GGC GAG GAG TGG TCC	658	20
Ser Arg Leu Ala Thr Gln Arg His Leu Thr Val Gly Glu Glu Trp Ser		
125 130 135		
CAG GAC CTG CAC AGC AGC GGC CGC ACG GAC CTC AAG TAC TCC TAC CGC	706	
Gln Asp Leu His Ser Ser Gly Arg Thr Asp Leu Lys Tyr Ser Tyr Arg		
140 145 150 155		
TTC GTG TGT GAC GAA CAC TAC TAC GGA GAG GGC TGC TCC GTT TTC TGC	754	30
Phe Val Cys Asp Glu His Tyr Tyr Gly Glu Gly Cys Ser Val Phe Cys		
160 165 170		
CGT CCC CGG GAC GAT GCC TTC GGC CAC TTC ACC TGT GGG GAG CGT GGG	802	
Arg Pro Arg Asp Asp Ala Phe Gly His Phe Thr Cys Gly Glu Arg Gly		
175 180 185		
GAG AAA GTG TGC AAC CCT GGC TGG AAA GGG CCC TAC TGC ACA GAG CCG	850	40
Glu Lys Val Cys Asn Pro Gly Trp Lys Gly Pro Tyr Cys Thr Glu Pro		
190 195 200		
ATC TGC CTG CCT GGA TGT GAT GAG CAG CAT GGA TTT TGT GAC AAA CCA	898	
Ile Cys Leu Pro Gly Cys Asp Glu Gln His Gly Phe Cys Asp Lys Pro		

205	210	215		
GGG GAA TGC AAG TGC AGA GTG GGC TGG CAG GGC CGG TAC TGT GAC GAG			946	
Gly Glu Cys Lys Cys Arg Val Gly Trp Gln Gly Arg Tyr Cys Asp Glu				
220	225	230	235	
TGT ATC CGC TAT CCA GGC TGT CTC CAT GGC ACC TGC CAG CAG CCC TGG			994	
Cys Ile Arg Tyr Pro Gly Cys Leu His Gly Thr Cys Gln Gln Pro Trp				10
240	245	250		
CAG TGC AAC TGC CAG GAA GGC TGG GGC GGC CTT TTC TGC AAC CAG GAC			1042	
Gln Cys Asn Cys Gln Glu Gly Trp Gly Gly Leu Phe Cys Asn Gln Asp				
255	260	265		
CTG AAC TAC TGC ACA CAC CAT AAG CCC TGC AAG AAT GGA GCC ACC TGC			1090	
Leu Asn Tyr Cys Thr His His Lys Pro Cys Lys Asn Gly Ala Thr Cys				20
270	275	280		
ACC AAC ACG GGC CAG GGC AGC TAC ACT TGC TCT TGC CGG CCT GGC TAC			1138	
Thr Asn Thr Gly Gln Gly Ser Tyr Thr Cys Ser Cys Arg Pro Gly Tyr				
285	290	295		
ACA GGT GCC ACC TGC GAG CTG GGC ATT GAC GAG TGT GAC CCC AGC CCT			1186	
Thr Gly Ala Thr Cys Glu Leu Gly Ile Asp Glu Cys Asp Pro Ser Pro				
300	305	310	315	30
TGT AAG AAC GGA GGC AGC TGC ACG GAT CTC GAG AAC AGC TAC TCC TGT			1234	
Cys Lys Asn Gly Gly Ser Cys Thr Asp Leu Glu Asn Ser Tyr Ser Cys				
320	325	330		
ACC TGC CCA CCC GGC TTC TAC GGC AAA ATC TGT GAA TTG AGT GCC ATG			1282	
Thr Cys Pro Pro Gly Phe Tyr Gly Lys Ile Cys Glu Leu Ser Ala Met				
335	340	345		40
ACC TGT GCG GAC GGC CCT TGC TTT AAC GGC GGT CGG TGC TCA GAC AGC			1330	
Thr Cys Ala Asp Gly Pro Cys Phe Asn Gly Gly Arg Cys Ser Asp Ser				
350	355	360		

CCC GAT GGA GGG TAC AGC TGC CGC TGC CCC GTG GGC TAC TCC GGC TTC	1378	
Pro Asp Gly Gly Tyr Ser Cys Arg Cys Pro Val Gly Tyr Ser Gly Phe		
365 370 375		
AAC TGT GAG AAG AAA ATT GAC TAC TGC AGC TCT TCA CCC TGT TCT AAT	1426	
Asn Cys Glu Lys Lys Ile Asp Tyr Cys Ser Ser Ser Pro Cys Ser Asn		
380 385 390 395		10
GGT GCC AAG TGT GTG GAC CTC GGT GAT GCC TAC CTG TGC CGC TGC CAG	1474	
Gly Ala Lys Cys Val Asp Leu Gly Asp Ala Tyr Leu Cys Arg Cys Gln		
400 405 410		
GCC GGC TTC TCG GGG AGG CAC TGT GAC GAC AAC GTG GAC GAC TGC GCC	1522	
Ala Gly Phe Ser Gly Arg His Cys Asp Asp Asn Val Asp Asp Cys Ala		
415 420 425		20
TCC TCC CCG TGC GCC AAC GGG GGC ACC TGC CGG GAT GGC GTG AAC GAC	1570	
Ser Ser Pro Cys Ala Asn Gly Gly Thr Cys Arg Asp Gly Val Asn Asp		
430 435 440		
TTC TCC TGC ACC TGC CCG CCT GGC TAC ACG GGC AGG AAC TGC AGT GCC	1618	
Phe Ser Cys Thr Cys Pro Pro Gly Tyr Thr Gly Arg Asn Cys Ser Ala		
445 450 455		
CCC GTC AGC AGG TGC GAG CAC GCA CCC TGC CAC AAT GGG GCC ACC TGC	1666	30
Pro Val Ser Arg Cys Glu His Ala Pro Cys His Asn Gly Ala Thr Cys		
460 465 470 475		
CAC GAG AGG GGC CAC CGC TAT GTG TGC GAG TGT GCC CGA GGC TAC GGG	1714	
His Glu Arg Gly His Arg Tyr Val Cys Glu Cys Ala Arg Gly Tyr Gly		
480 485 490		
GGT CCC AAC TGC CAG TTC CTG CTC CCC GAG CTG CCC CCG GGC CCA GCG	1762	40
Gly Pro Asn Cys Gln Phe Leu Leu Pro Glu Leu Pro Pro Gly Pro Ala		
495 500 505		
GTG GTG GAC CTC ACT GAG AAG CTA GAG GGC CAG GGC GGG CCA TTC CCC	1810	

Val Val Asp Leu Thr Glu Lys Leu Glu Gly Gln Gly Gly Pro Phe Pro		
510	515	520
TGG GTG GCC GTG TGC GCC GGG GTC ATC CTT GTC CTC ATG CTG CTG CTG	1858	
Trp Val Ala Val Cys Ala Gly Val Ile Leu Val Leu Met Leu Leu Leu		
525	530	535
GGC TGT GCC GCT GTG GTG GTC TGC GTC CGG CTG AGG CTG CAG AAG CAC	1906	10
Gly Cys Ala Ala Val Val Val Cys Val Arg Leu Arg Leu Gln Lys His		
540	545	550
CGG CCC CCA GCC GAC CCC TGC CGG GGG GAG ACG GAG ACC ATG AAC AAC	1954	
Arg Pro Pro Ala Asp Pro Cys Arg Gly Glu Thr Glu Thr Met Asn Asn		
560	565	570
CTG GCC AAC TGC CAG CGT GAG AAG GAC ATC TCA GTC AGC ATC ATC GGG	2002	20
Leu Ala Asn Cys Gln Arg Glu Lys Asp Ile Ser Val Ser Ile Ile Gly		
575	580	585
GCC ACG CAG ATC AAG AAC ACC AAC AAG AAG GCG GAC TTC CAC GGG GAC	2050	
Ala Thr Gln Ile Lys Asn Thr Asn Lys Lys Ala Asp Phe His Gly Asp		
590	595	600
CAC AGC GCC GAC AAG AAT GGC TTC AAG GCC CGC TAC CCA GCG GTG GAC	2098	30
His Ser Ala Asp Lys Asn Gly Phe Lys Ala Arg Tyr Pro Ala Val Asp		
605	610	615
TAT AAC CTC GTG CAG GAC CTC AAG GGT GAC GAC ACC GCC GTC AGG GAC	2146	
Tyr Asn Leu Val Gln Asp Leu Lys Gly Asp Asp Thr Ala Val Arg Asp		
620	625	630
GCG CAC AGC AAG CGT GAC ACC AAG TGC CAG CCC CAG GGC TCC TCA GGG	2194	40
Ala His Ser Lys Arg Asp Thr Lys Cys Gln Pro Gln Gly Ser Ser Gly		
640	645	650
GAG GAG AAG GGG ACC CCG ACC ACA CTC AGG GGT GGA GAA GCA TCT GAA	2242	
Glu Glu Lys Gly Thr Pro Thr Thr Leu Arg Gly Gly Glu Ala Ser Glu		

655	660	665	
AGA AAA AGG CCG GAC TCG GGC TGT TCA ACT TCA AAA GAC ACC AAG TAC			2290
Arg Lys Arg Pro Asp Ser Gly Cys Ser Thr Ser Lys Asp Thr Lys Tyr			
670	675	680	
CAG TCG GTG TAC GTC ATA TCC GAG GAG AAG GAT GAG TGC GTC ATA GCA			2338
Gln Ser Val Tyr Val Ile Ser Glu Glu Lys Asp Glu Cys Val Ile Ala			
685	690	695	
ACT GAG GTG			2347
Thr Glu Val			
700			
TAAATGGAA GTGAGATGGC AAGACTCCCG TTTCTCTTAA AATAAGTAAA ATTCCAAGGA			2407
TATATGCCCC AACGAATGCT GCTGAAGAGG AGGGAGGCCT CGTGGACTGC TGCTGAGAAA			2467
CCGAGTTCAG ACCGAGCAGG TTCTCCTCCT GAGGTCTCG ACGCCTGCCG ACAGCCTGTC			2527
GCGGCCCGGC CGCCTGCGGC ACTGCCTTCC GTGACGTCGC CGTTGCACTA TGGACAGTTG			2587
CTCTTAAGAG AATATATATT TAAATGGGTG AACTGAATTA CGCATAAGAA GCATGCACTG			2647
CCTGAGTGTA TATTTT			2663

10

20

配列番号 : 9

配列の長さ : 2 0

30

配列の型 : 核酸

鎖の数 : 一本鎖

トポロジー : 直鎖状

配列の種類 : 他の核酸 (化学合成DNA)

配列

TGACGGTGGG CGAGGAGTGG 20

40

配列番号 : 1 0

配列の長さ : 2 0

配列の型 : 核酸

鎖の数 : 一本鎖

トポロジー : 直鎖状

配列の種類 : 他の核酸 (化学合成DNA)

配列

GCAGCTGTAC CCTCCATCGG

20

10

配列番号 : 1 1

配列の長さ : 7 1 6

配列の型 : 核酸

鎖の数 : 二本鎖

トポロジー : 直鎖状

配列の種類 : cDNA to mRNA

起源 : ヒト

配列

TGACGGTGGG CGAGGAGTGG TCCCAGGACC TGCACAGCAG CGGCCGCACG GACCTCAAGT 60
 ACTCCTACCG CTTCGTGTGT GACGAACACT ACTACGGAGA GGGCTGCTCC GTTTTCTGCC 120
 GTCCCCGGGA CGATGCCTTC GGCCACTTCA CCTGTGGGGA GCGTGGGGAG AAAGTGTGCA 180
 ACCCTGGCTG GAAAGGGCCC TACTGCACAG AGCCGATCTG CCTGCCTGGA TGTGATGAGC 240
 AGCATGGATT TTGTGACAAA CCAGGGGAAT GCAAGTGCAG AGTGGGCTGG CAGGGCCGGT 300
 ACTGTGACGA GTGTATCCGC TATCCAGGCT GTCTCCATGG CACCTGCCAG CAGCCCTGGC 360
 AGTGCAACTG CCAGGAAGGC TGGGGGGGCC TTTTCTGCAA CCAGGACCTG AACTACTGCA 420
 CACACCATAA GCCCTGCAAG AATGGAGCCA CCTGCACCAA CACGGGCCAG GGGAGCTACA 480
 CTTGCTCTTG CCGGCCTGGG TACACAGGTG CCACCTGCCA GCTGGGGATT GACGAGTGTG 540
 ACCCCAGCCC TTGTAAGAAC GGAGGGAGCT GCACGGATCT CGAGAACAGC TACTCCTGTA 600
 CCTGCCCACC CGGCTTCTAC GGCAAAATCT GTGAATTGAG TGCCATGACC TGTGCGGACG 660
 GCCCTTGCTT TAACGGGGGT CGGTGCTCAG ACAGCCCCGA TGGAGGGTAC AGCTGC 716

30

40

配列番号 : 1 2

配列の長さ : 2 0

配列の型 : 核酸

鎖の数 : 一本鎖

トポロジー : 直鎖状

配列の種類 : 他の核酸 (化学合成DNA)

10

配列

TTGGGCACCA ACTCCTTCGC

20

配列番号 : 1 3

配列の長さ : 2 0

配列の型 : 核酸

鎖の数 : 一本鎖

トポロジー : 直鎖状

配列の種類 : 他の核酸 (化学合成DNA)

20

配列

TAGGCTGTTG GCAATATTCC

20

配列番号 : 1 4

配列の長さ : 4 1 2

配列の型 : 核酸

鎖の数 : 二本鎖

トポロジー : 直鎖状

配列の種類 : cDNA to mRNA

30

起源 : ヒト

40

配列

TTGGGCACCA ACTCCTTCGC TGTCGGGGAC GACAGTAGCG GCGGGGGGCG CAACCCTCTC 60

CAACTGCCCT TCAATTTAC CTGGCCGGGT ACCTTCTCGC TCATCATCGA AGCTTGGCAC 120

GCGCCAGGAG ACGACCTGCG GCCAGAGGCC TTGCCACCAG ATGCACTCAT CAGCAAGATC 180
 GCCATCCAGG GCTCCCTAGC TGTGGGTCAG AACTGGTTAT TGGATGAGCA AACCAGCACC 240
 CTCACAAGGC TGCCTACTC TTACCGGGTC ATCTGCAGTG ACAACTACTA TGGAGACAAC 300
 TGCTCCCGCC TGTGCAAGAA GCGCAATGAC CACTTCGGCC ACTATGTGTG CCAGCCAGAT 360
 GGCAACTTGT CCTGCCTGCC CGGTTGGACT GGGGAATATT GCCAACAGCC TA 412

10

配列番号 : 1 5

配列の長さ : 2 8

配列の型 : 核酸

鎖の数 : 一本鎖

トポロジー : 直鎖状

配列の種類 : 他の核酸 (化学合成DNA)

20

配列

CGGCGACGCC CGAGGGGATG GCGGCAGC 28

配列番号 : 1 6

配列の長さ : 3 0

配列の型 : 核酸

鎖の数 : 一本鎖

30

トポロジー : 直鎖状

配列の種類 : 他の核酸 (化学合成DNA)

配列

GAATTCCACC GCGGTGGAGC TCCAATTCGC 30

配列番号 : 1 7

40

配列の長さ : 2 8

配列の型 : 核酸

鎖の数 : 一本鎖

トポロジー：直鎖状

配列の種類：他の核酸（化学合成DNA）

配列

TCAGCTGGGC GGCAAGCCCA CGGGGAAC 28

配列番号：18

10

配列の長さ：33

配列の型：核酸

鎖の数：一本鎖

トポロジー：直鎖状

配列の種類：他の核酸（化学合成DNA）

配列

GCGGCCGCTT ATCGATACCG TCGACCTCGA GGG 33 20

配列番号19

配列の長さ：52

配列の型：核酸

鎖の数：一本鎖

トポロジー：直鎖状

30

配列の種類：他の核酸（化学合成DNA）

配列

TCATTTATCA TCATCATCTT TATAATCGCT GGGCGGCAAG CCCACGGGGA AC 52

配列番号：20

配列の長さ：36

40

配列の型：核酸

鎖の数：一本鎖

トポロジー：直鎖状

配列の種類：他の核酸（化学合成DNA）

配列

AAAGGATCCG AGGGCGGCAA GCCCACGGGG AACTCG 36

配列番号：2 1

配列の長さ：2 5

10

配列の型：核酸

鎖の数：一本鎖

トポロジー：直鎖状

配列の種類：他の核酸（化学合成DNA）

配列

TTATACCTCC GTGGCAATGA CACAT 25

20

配列番号：2 2

配列の長さ：5 2

配列の型：核酸

鎖の数：一本鎖

トポロジー：直鎖状

配列の種類：他の核酸（化学合成DNA）

30

配列

TCATTTATCA TCATCATCTT TATAATCTAC CTCGTTGGCA ATGACACATT CA 52

配列番号：2 3

配列の長さ：3 6

配列の型：核酸

40

鎖の数：一本鎖

トポロジー：直鎖状

配列の種類：他の核酸（化学合成DNA）

配列

AAGGATCCCG AGGGTGTCTG CTGGAAGCCA GGCTCA

36

配列番号 : 2 4

配列の長さ : 3 3

配列の型 : 核酸

鎖の数 : 一本鎖

10

トポロジー : 直鎖状

配列の種類 : 他の核酸 (化学合成DNA)

配列

CCTCTAGAGT CGCGGCCGTC GCACTCATTT ACC

33

【図面の簡単な説明】

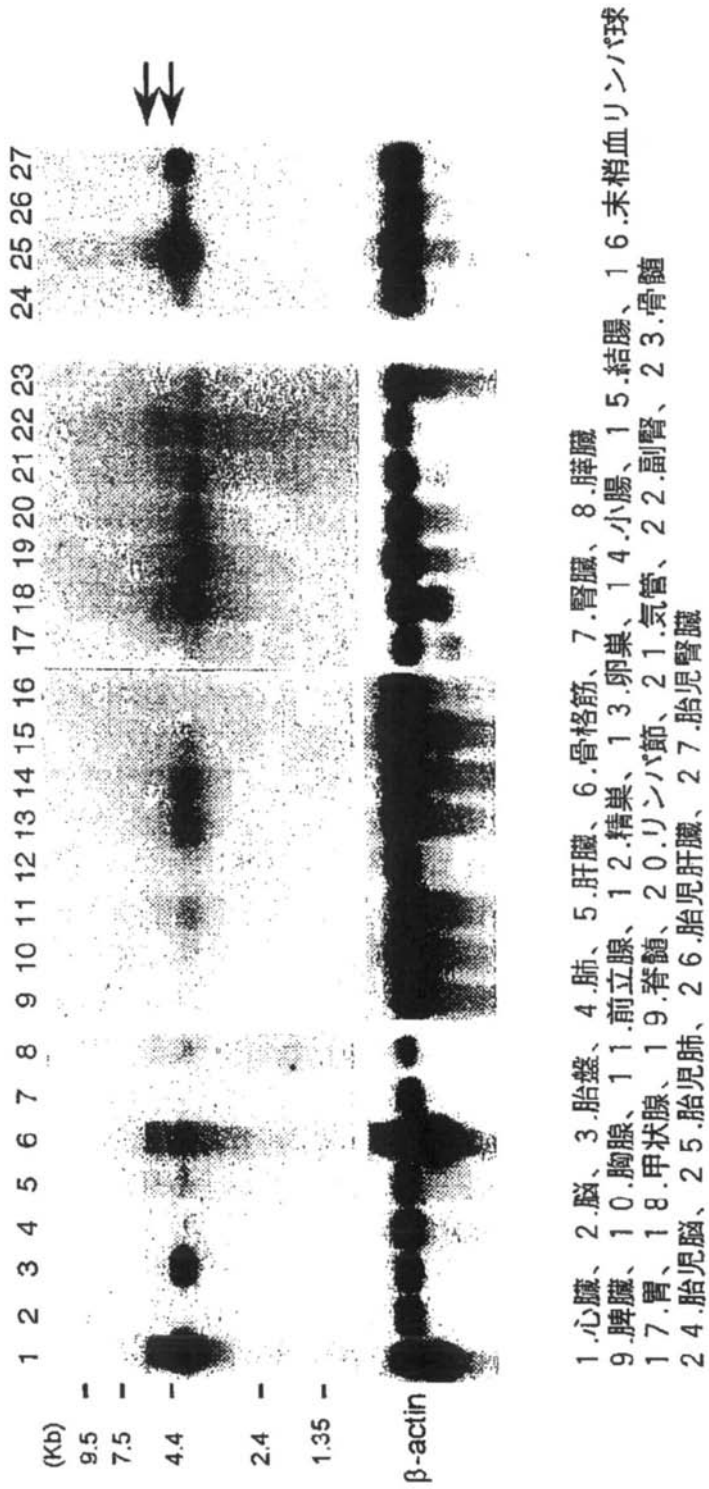
【 0 1 4 7 】

【図 1】第 1 図はヒト各種臓器におけるヒトデルタ - 2 m R N A の発現を調べたノザンブ
ロットの図である。 20

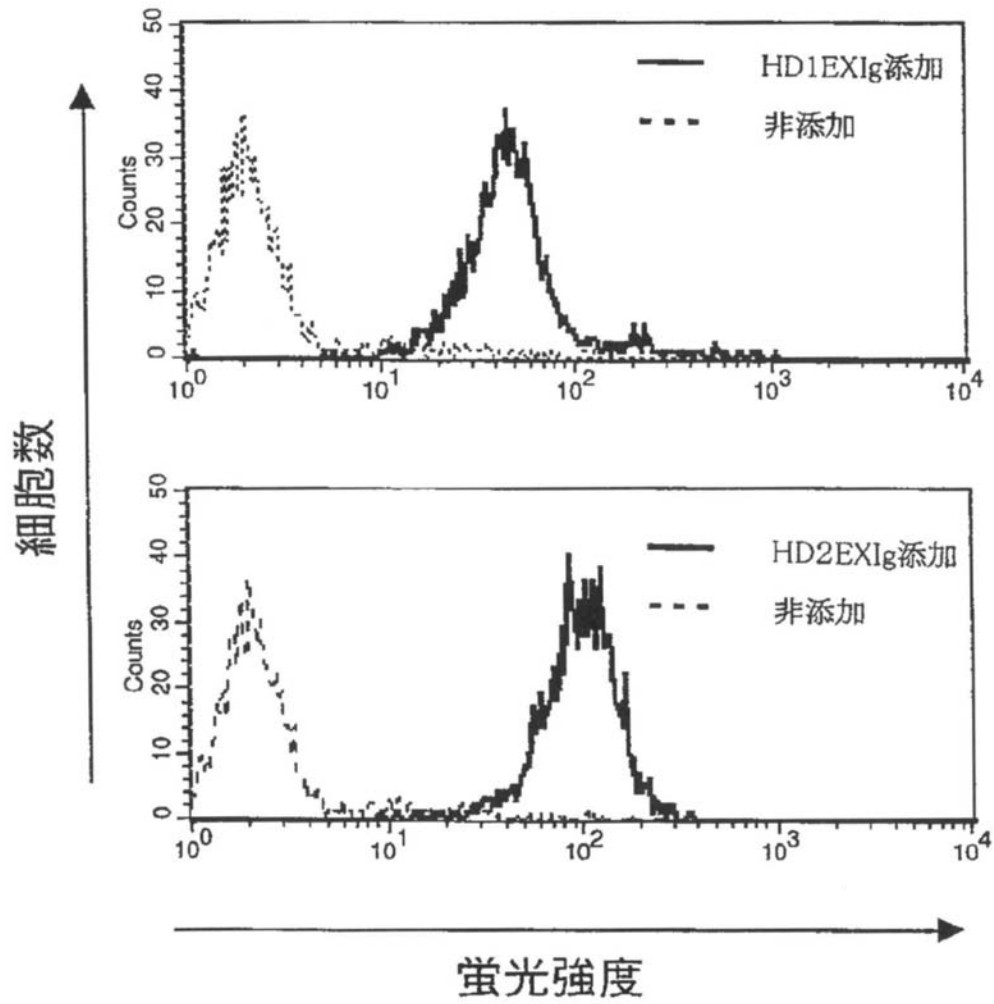
【図 2】第 2 図はヒト由来 T 細胞系細胞株 J u r k a t に対する本発明の H D 2 E X I G
と比較の H D 1 E X I G の結合を示すものである。

【図 3】第 3 図はヒト臍帯血単核球 C D 3 4 陽性細胞に対する本発明の H D 2 E X I G と
比較の H D 1 E X I G の結合を示すものである。

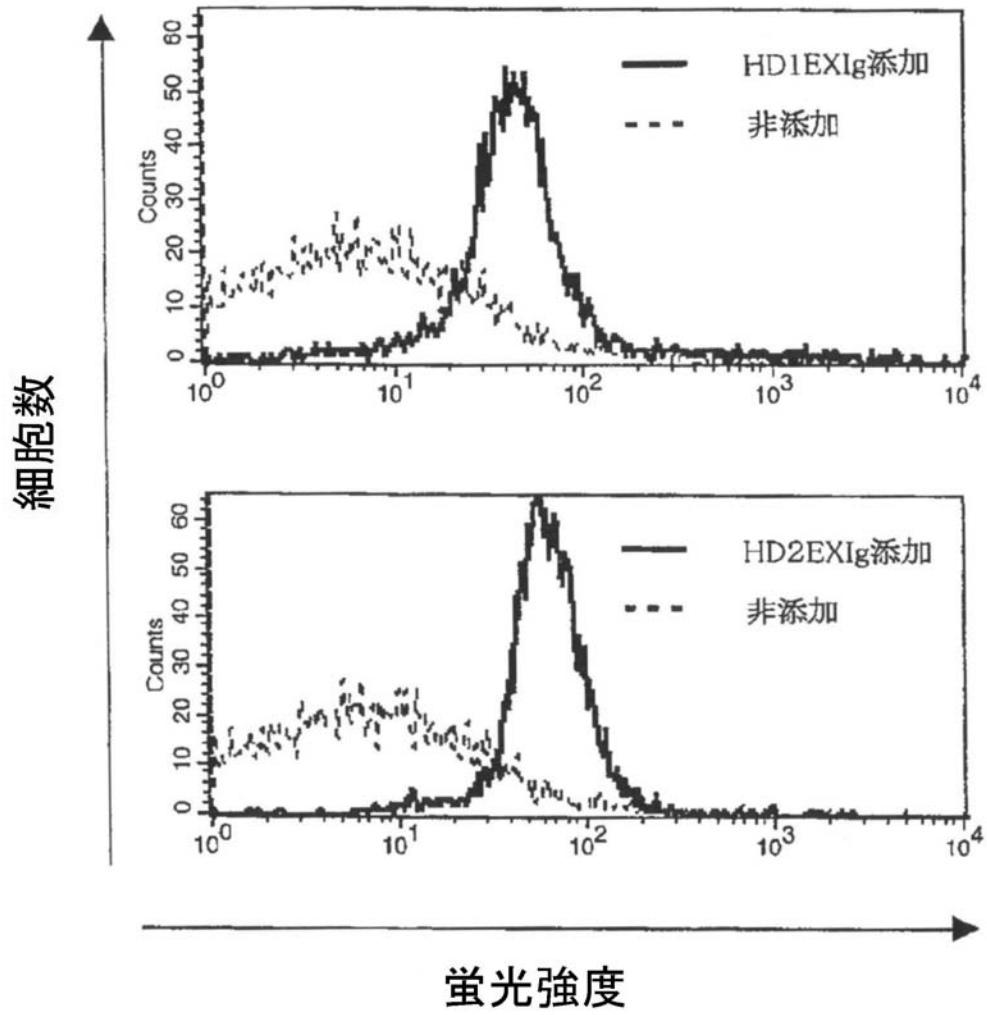
【図 1】



【 図 2 】



【 図 3 】



【 配列表 】

2008260773000001.app